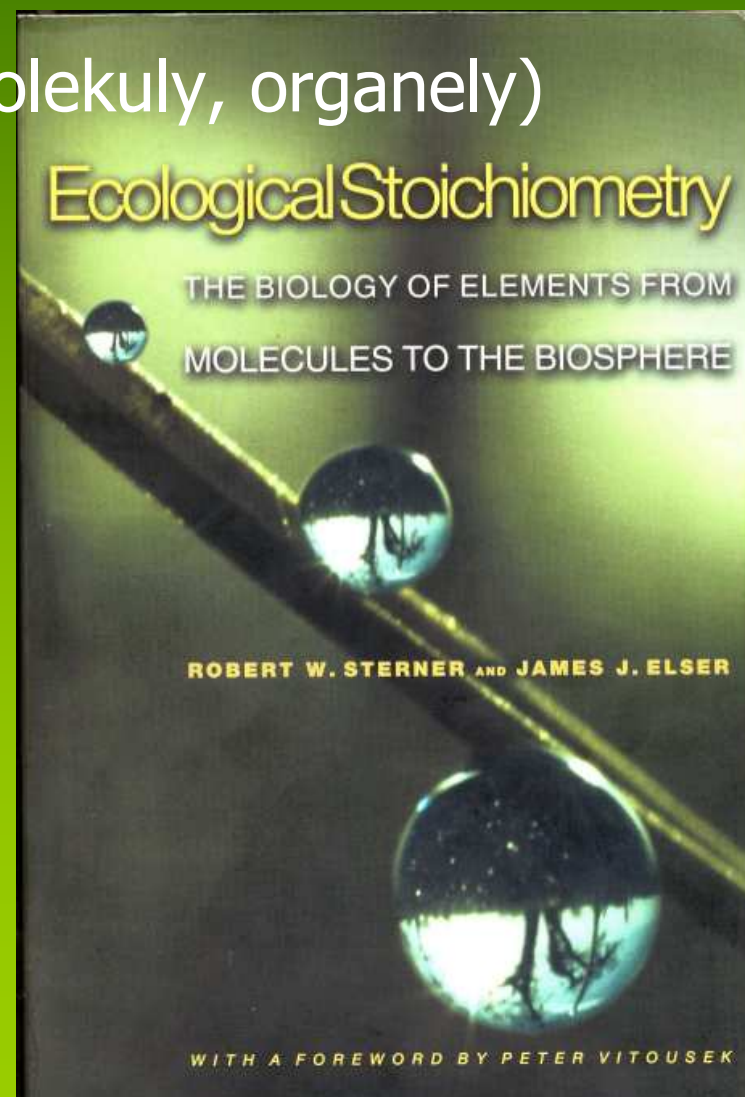


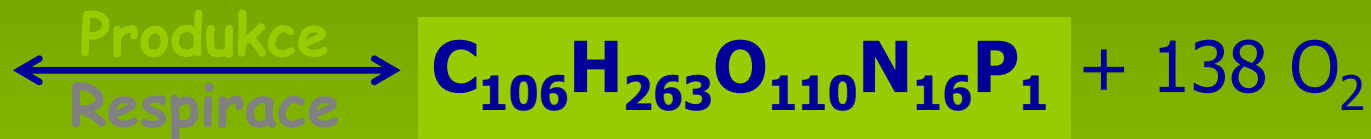
Ekologická stechiometrie

- **Zdroje (živiny)**
- **Fyzika a chemie** (z. zachování hmoty a energie, prvky)
- **Biochemie a buňka** (makromolekuly, organely)
- **Autotrofní růst**
- **Heterotrofní homeostáze**
- **Nerovnováha zdrojů**
- **Regenerace živin**
- **Stechiometrie společenstev**
- **Stechiometrie ekosystémů**

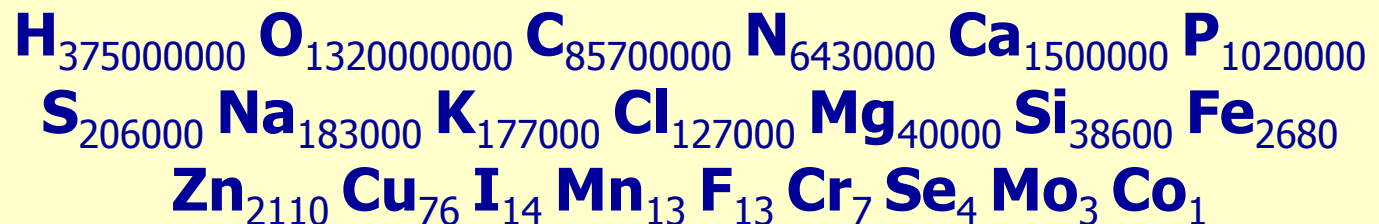


Ekologická stechiometrie ?

Syntéza produkční ekologie a populační ekologie...



člověk =



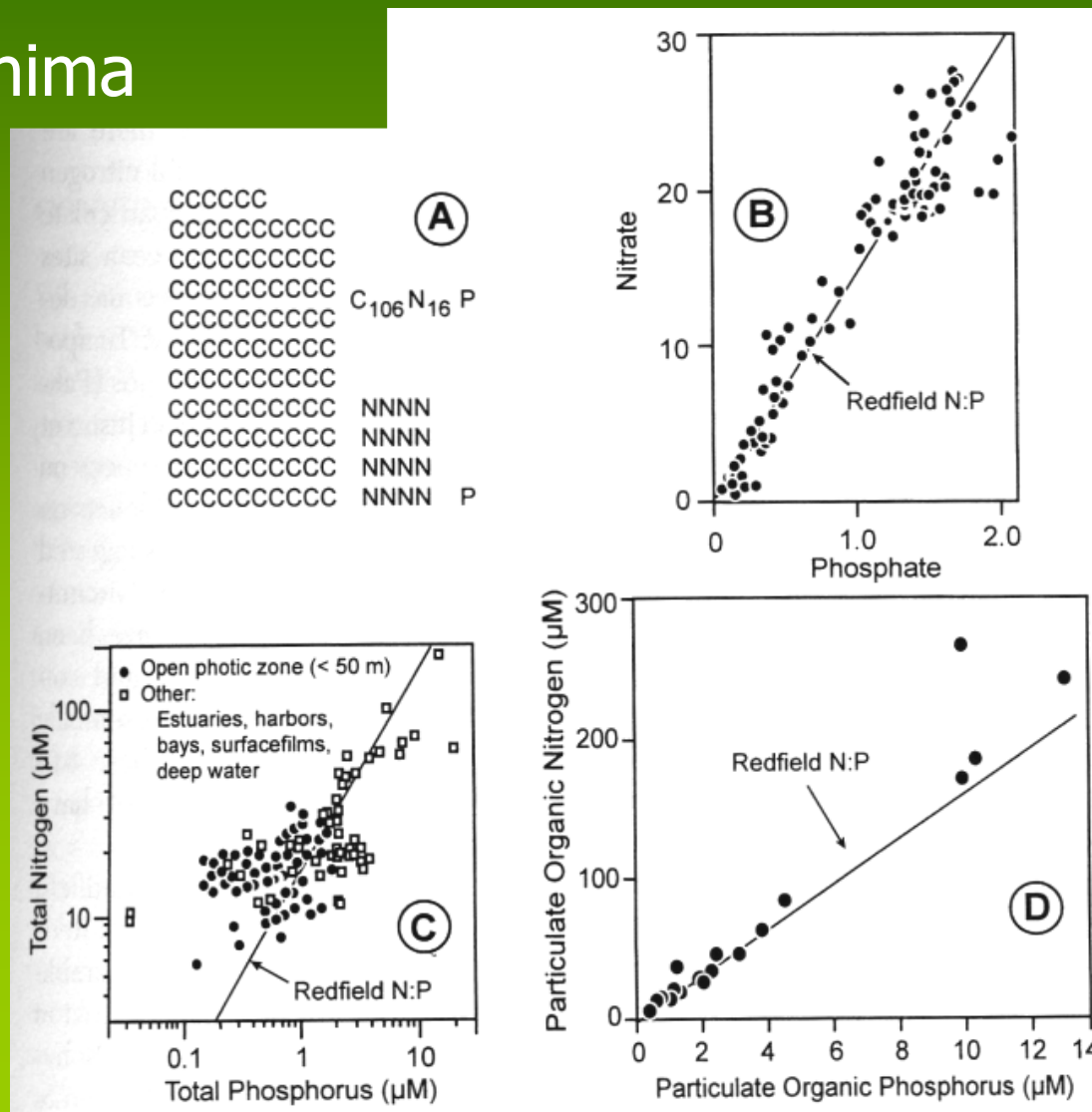
Ekologická stechiometrie – počátky

Stechiometrie zkoumá zákonité („povolené“) poměry prvků

Liebig (1840) – zákon minima

Lotka (1925) –
stechiometrie v biologii

Redfield (1934, 1958) –
poměr C:N:P = 106:16:1



Ekologická stechiometrie – východiska

Fyzika: zákon zachování hmoty a energie, termodynamika

Chemie: stechiometrie, relativní poměry prvků, biochemie

Biologie: evoluce živých soustav, homeostáze

Ekologie: produkční biologie vs. stechiometrie –

uhlík = integrace hmoty a energie

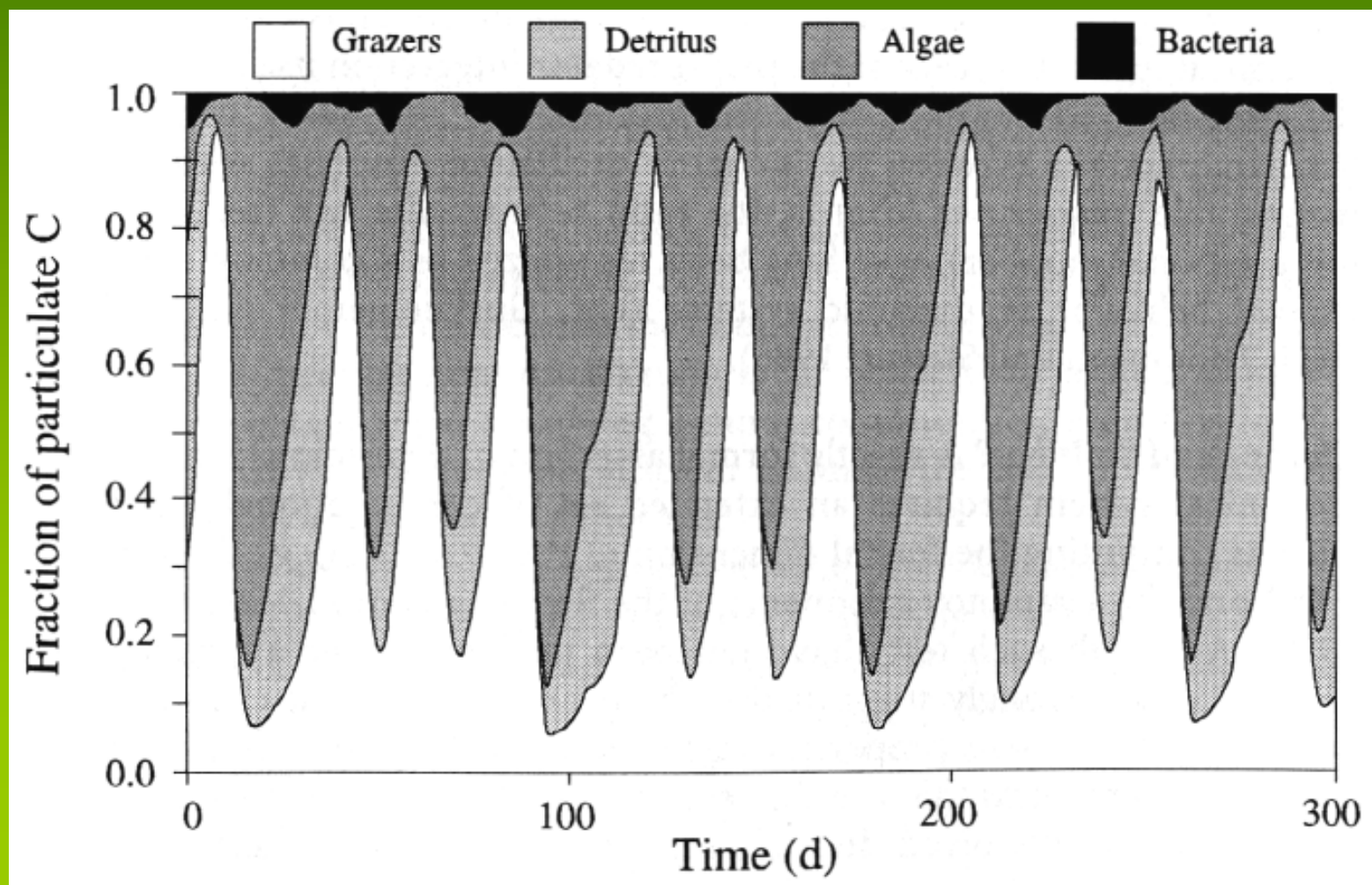
biologická diverzita vs. stechiometrie –

prvky = „nejmenší společné jmenovatele“

Ekologická stechiometrie – cíle

Realistický popis chování populací a ekosystémů

Prediktivní ekologické modely



Biogenní prvky: nehomeostatické

Element	Symbol	Demand Plants (%)	Supply Water (%)	Demand:Supply Plants: Water (approx)
Oxygen	O	80.5	89	1
Hydrogen	H	9.7	11	1
Carbon ²	C	6.5	0.0012	5,000
Silicon ³	Si	1.3	0.00065	2,000
Nitrogen ²	N	0.7	0.000023	30,000
Calcium	Ca	0.4	0.0015	<1,000
Potassium	K	0.3	0.00023	1,300
Phosphorus ²	P	0.08	0.000001	80,000
Magnesium	Mg	0.07	0.0004	<1,000
Sulfur	S	0.06	0.0004	<1,000
Chlorine	Cl	0.06	0.0008	<1,000
Sodium	Na	0.04	0.0006	<1,000
Iron ⁴	Fe	0.02	0.00007	<1,000
Boron	B	0.001	0.00001	<1,000
Manganese	Mn	0.0007	0.0000015	<1,000
Zinc	Zn	0.0003	0.000001	<1,000
Copper	Cu	0.0001	0.000001	<1,000
Molybdenum	Mo	0.00005	0.0000003	<1,000
Cobalt ⁴	Co	0.000002	0.000000005	<1,000

Biogenní prvky: nehomeostatické / stopové

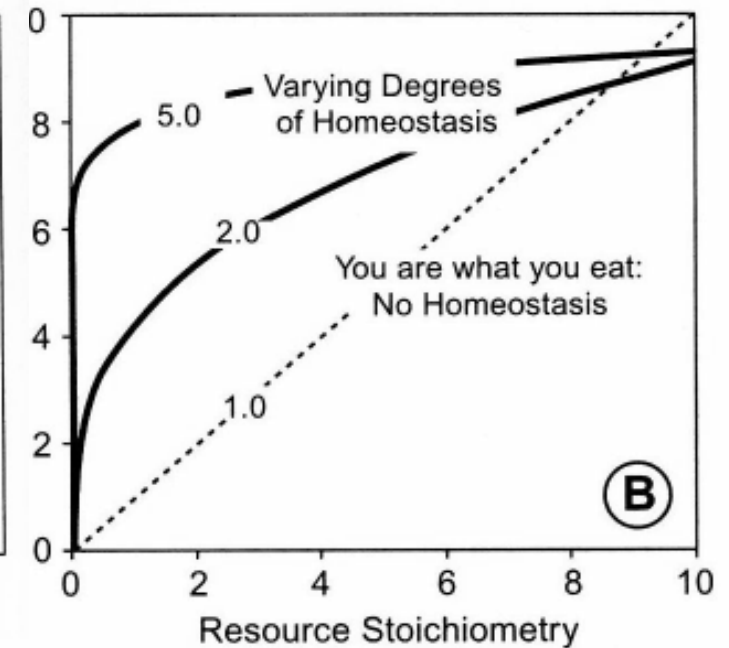
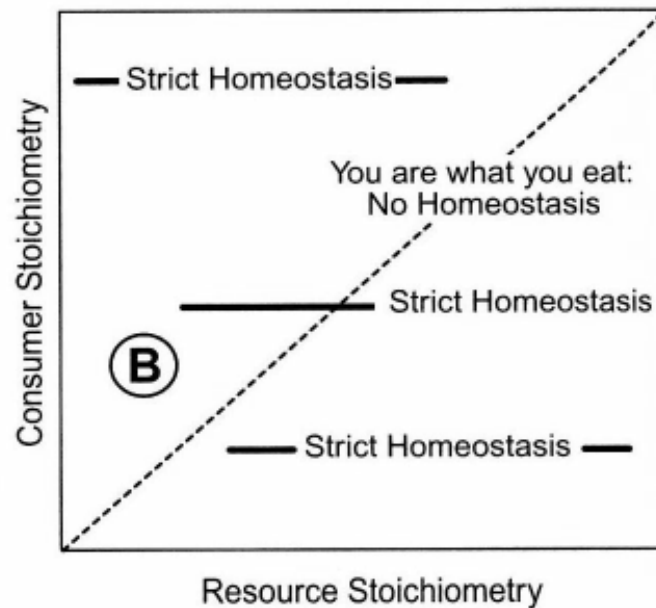
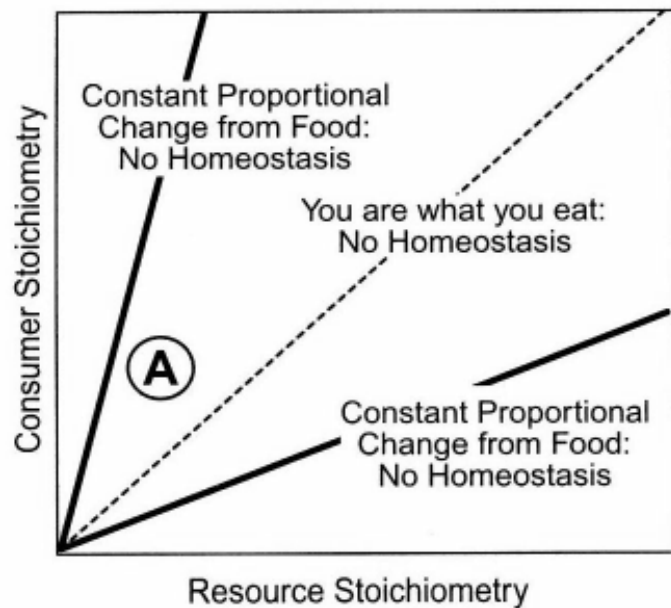
The image shows a standard periodic table of elements. A green box highlights a specific group of elements. This group includes Carbon (C), Nitrogen (N), and Phosphorus (P) in the upper right section, and a row of transition metals from Calcium (Ca) to Zinc (Zn) in the lower middle section. The elements are arranged in rows and columns, with their atomic number, symbol, name, and atomic weight listed in each cell.

1 H Hydrogen 1.0																	2 He Helium 4.0
3 Li Lithium 6.9	4 Be Beryllium 9.0											5 B Boron 10.8	6 C Carbon 12.0	7 N Nitrogen 14.0	8 O Oxygen 16.0	9 F Fluorine 19.0	10 Ne Neon 20.2
11 Na Sodium 23.0	12 Mg Magnesium 9.0											13 Al Aluminum 27.0	14 Si Silicon 28.1	15 P Phosphorus 31.0	16 S Sulfur 32.1	17 Cl Chlorine 35.5	18 Ar Argon 40.0
19 K Potassium 39.1	20 Ca Calcium 40.2	21 Sc Scandium 45.0	22 Ti Titanium 47.9	23 V Vanadium 50.9	24 Cr Chromium 52.0	25 Mn Manganese 54.9	26 Fe Iron 55.9	27 Co Cobalt 58.9	28 Ni Nickel 58.7	29 Cu Copper 63.5	30 Zn Zinc 65.4	31 Ga Gallium 69.7	32 Ge Germanium 72.6	33 As Arsenic 74.9	34 Se Selenium 79.0	35 Br Bromine 79.9	36 Kr Krypton 83.8
37 Rb Rubidium 85.5	38 Sr Strontium 87.6	39 Y Yttrium 88.9	40 Zr Zirconium 91.2	41 Nb Niobium 92.9	42 Mo Molybdenum 95.9	43 Tc Technetium 99	44 Ru Ruthenium 101.0	45 Rh Rhodium 102.9	46 Pd Palladium 106.4	47 Ag Silver 107.9	48 Cd Cadmium 112.4	49 In Indium 114.8	50 Sn Tin 118.7	51 Sb Antimony 121.8	52 Te Tellurium 127.6	53 I Iodine 126.9	54 Xe Xenon 131.3
55 Cs Caesium 132.9	56 Ba Barium 137.4	57 La Lanthanum 138.9	72 Hf Hafnium 178.5	73 Ta Tantalum 181.0	74 W Tungsten 183.9	75 Re Rhenium 186.2	76 Os Osmium 190.2	77 Ir Iridium 192.2	78 Pt Platinum 195.1	79 Au Gold 197.0	80 Hg Mercury 200.6	81 Tl Thallium 204.4	82 Pb Lead 207.2	83 Bi Bismuth 209.0	84 Po Polonium 210.0	85 At Astatine 210.0	86 Rn Radon 222.0
88 Ra Radium 226.0	89 Ac Actinium 132.9	90 Th Thorium 232.0	91 Pa Protactinium 231.0	92 U Uranium 238.0													

Homeostáze – regulace živých soustav

Negativní zpětná vazba mezi vnitřními podmínkami
a vnějšími podmínkami

Stechiometrie **konzumenta** vs. stechiometrie **zdrojů**

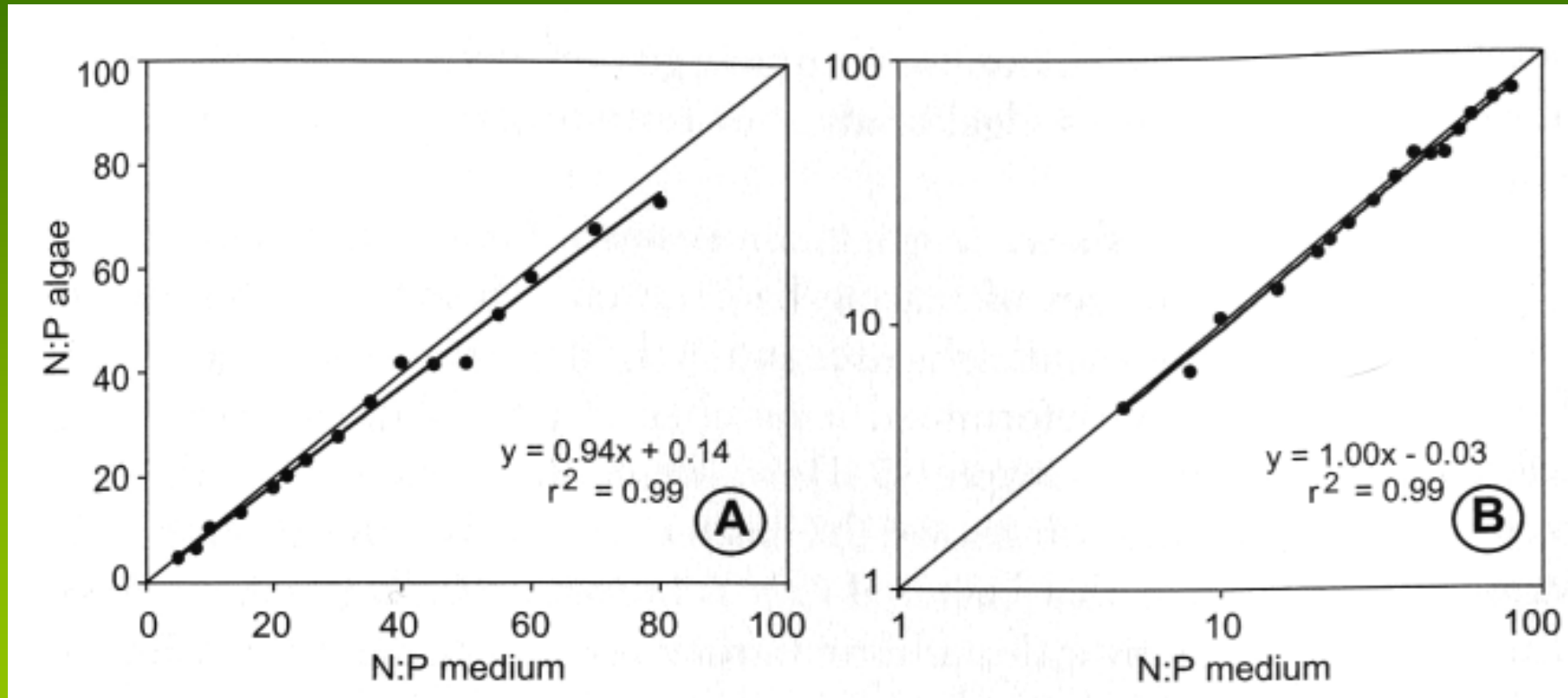


žádná regulace

„striktní homeostáze“

Absence homeostáze – autotrofní růst

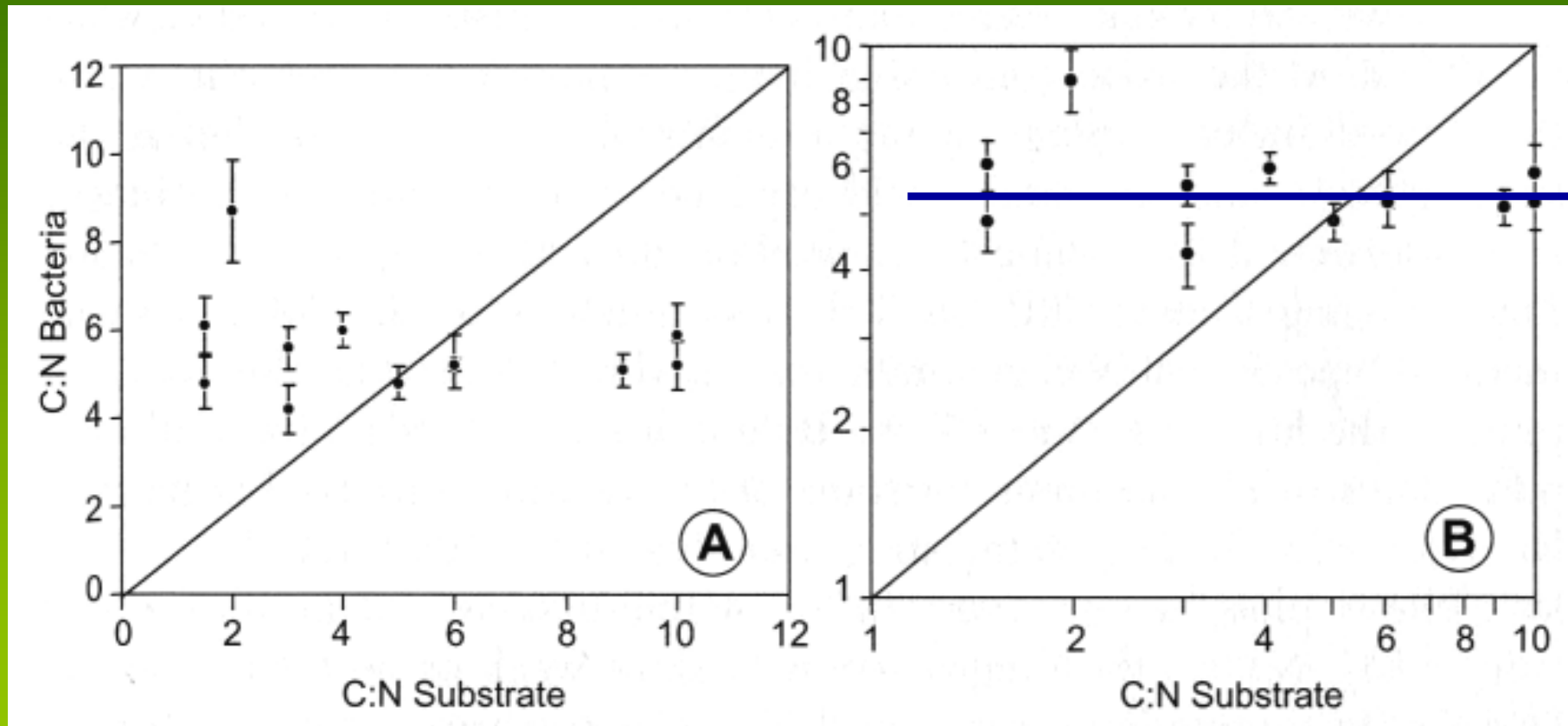
Fytoplankton (*Scenedesmus*)



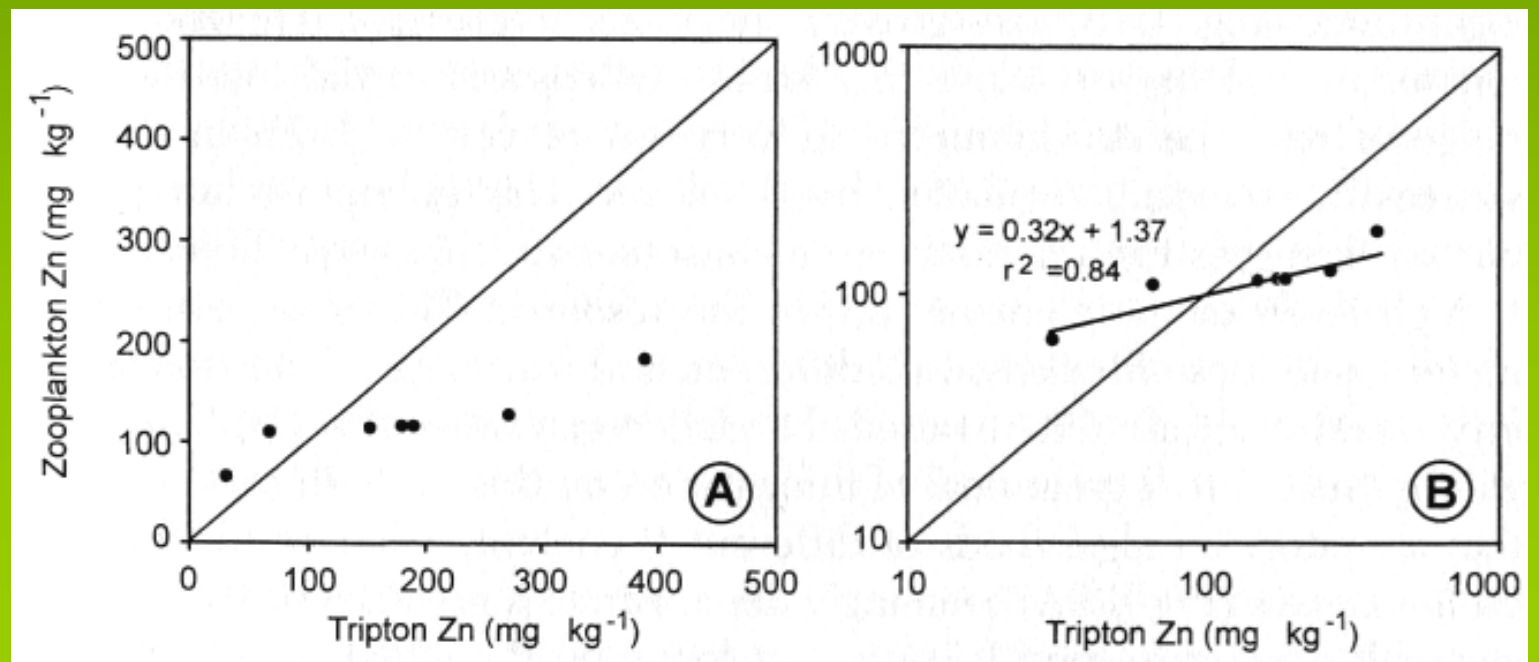
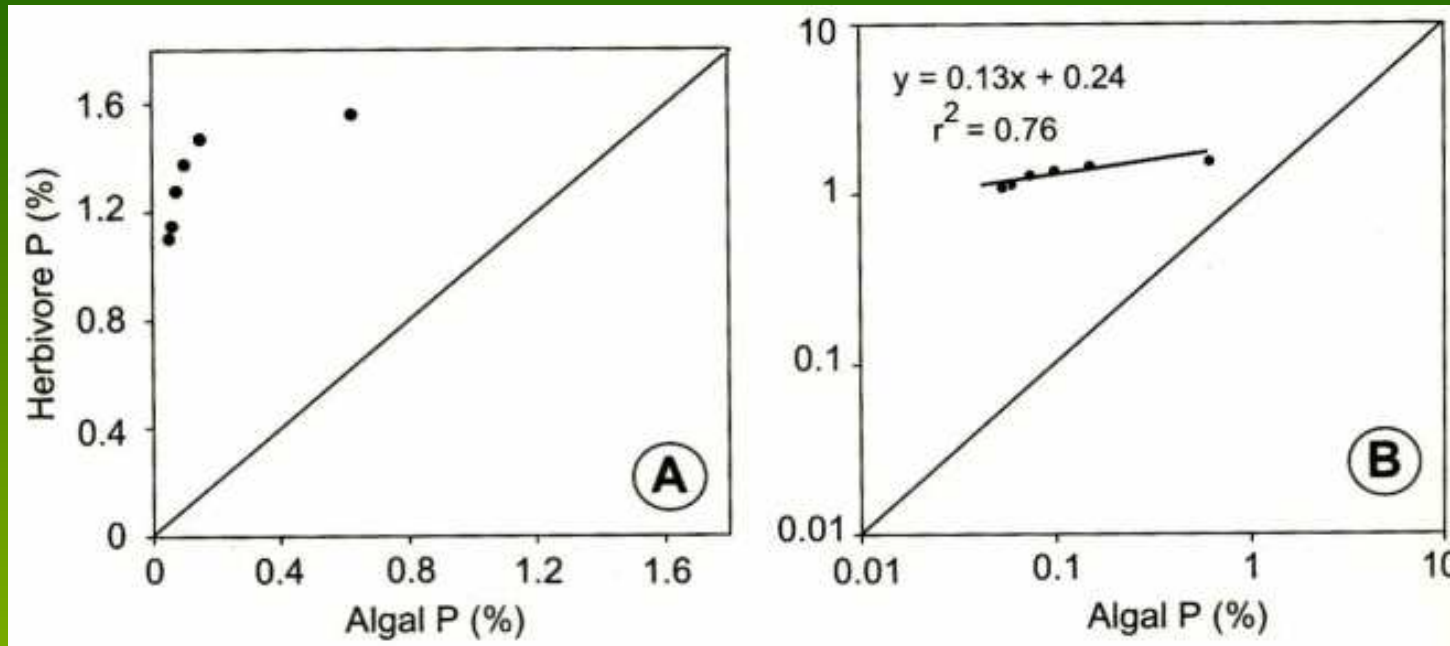
Žádná homeostatická regulace = „you are what you eat“

Striktní homeostáze – heterotrofní růst

Bakterie = rovnovážný růst



Silná / striktní homeostáze – Zooplankton

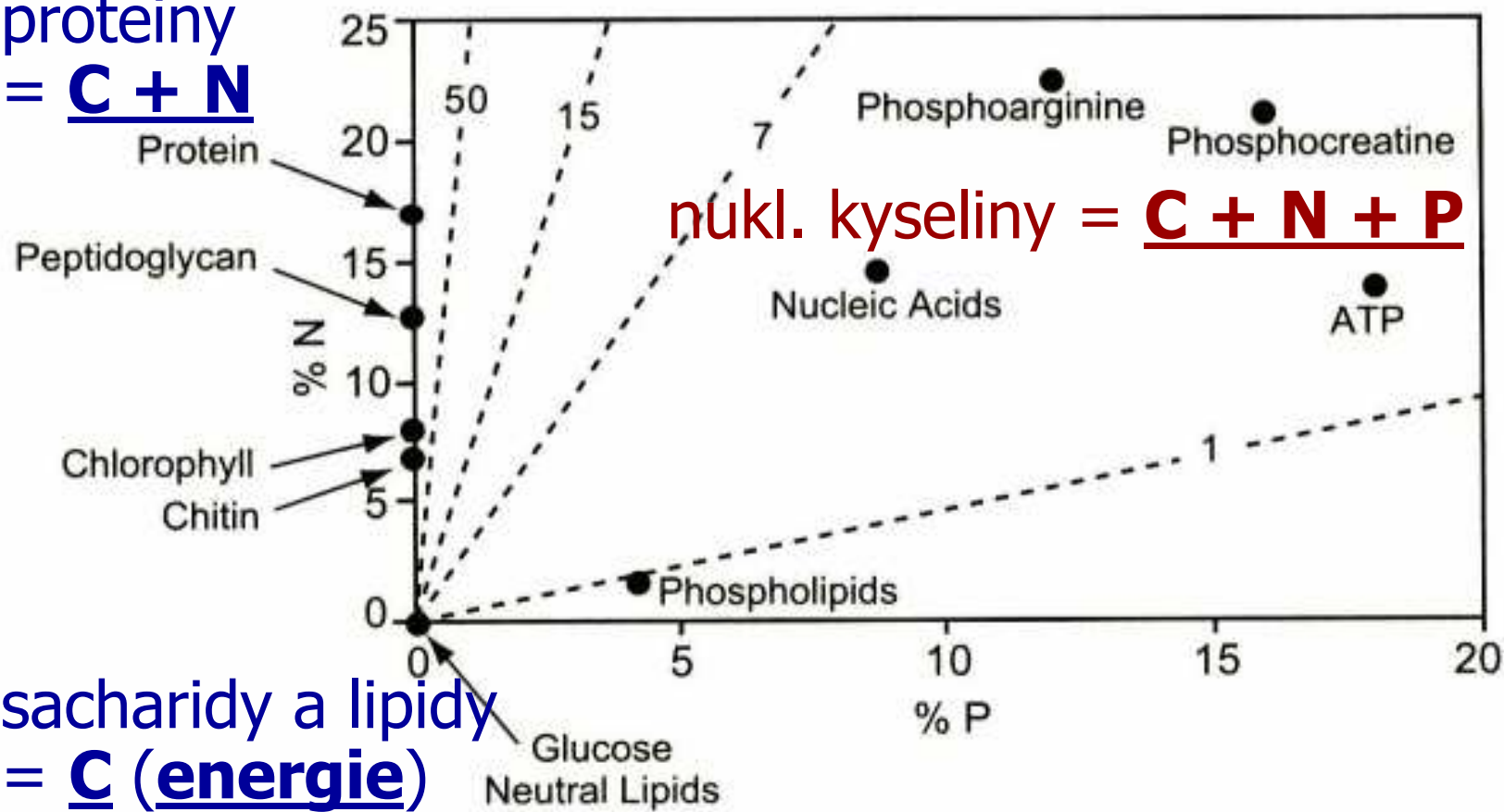


Stechiometrie buňky – buněčná chemie

Složení biomolekul – biochemická stechiometrie

Selekce C, N a P v biochemické evoluci

proteiny
= C + N

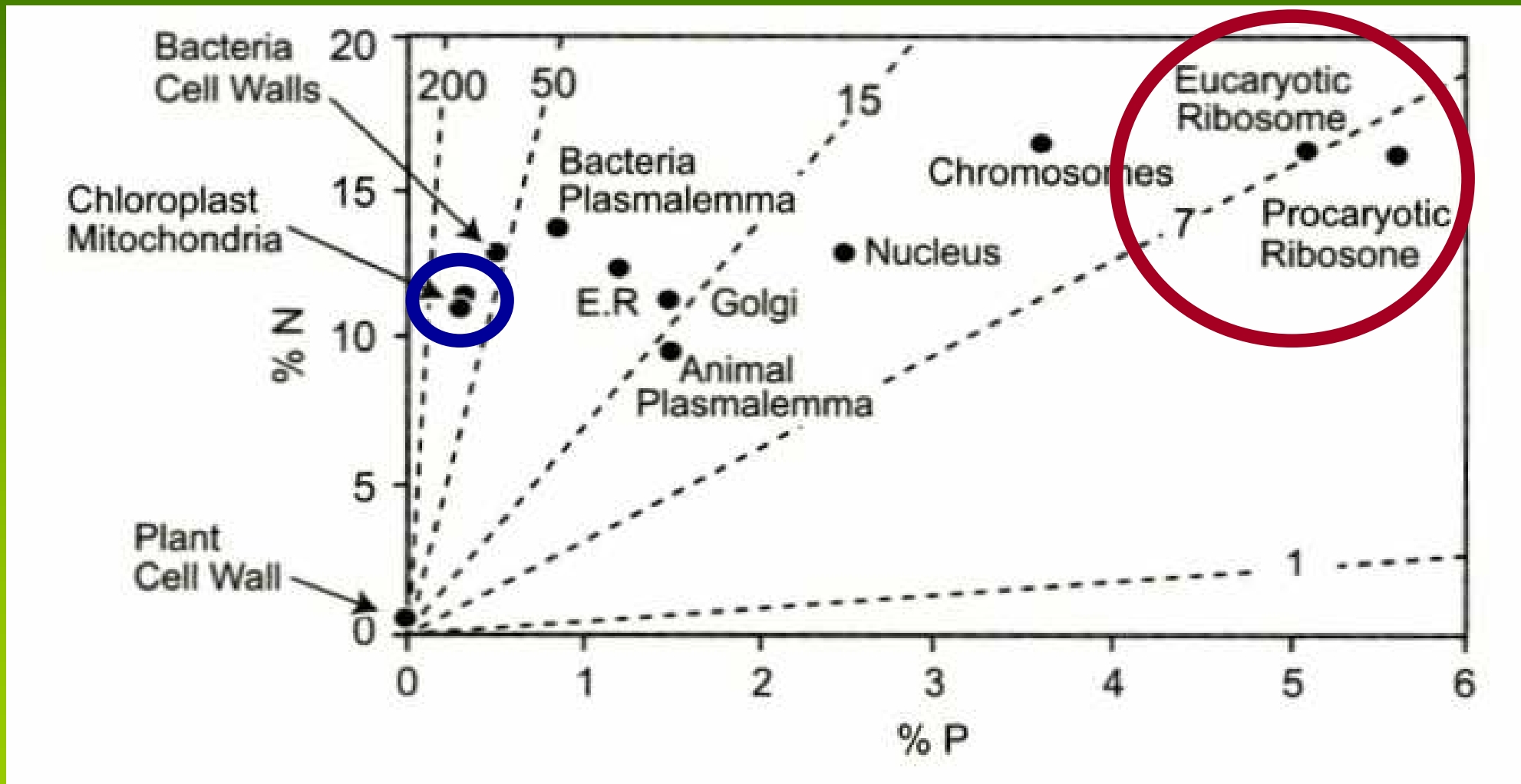


nukl. kyseliny = C + N + P

sacharidy a lipidy
= C (energie)

Stechiometrie buňky – buněčná chemie

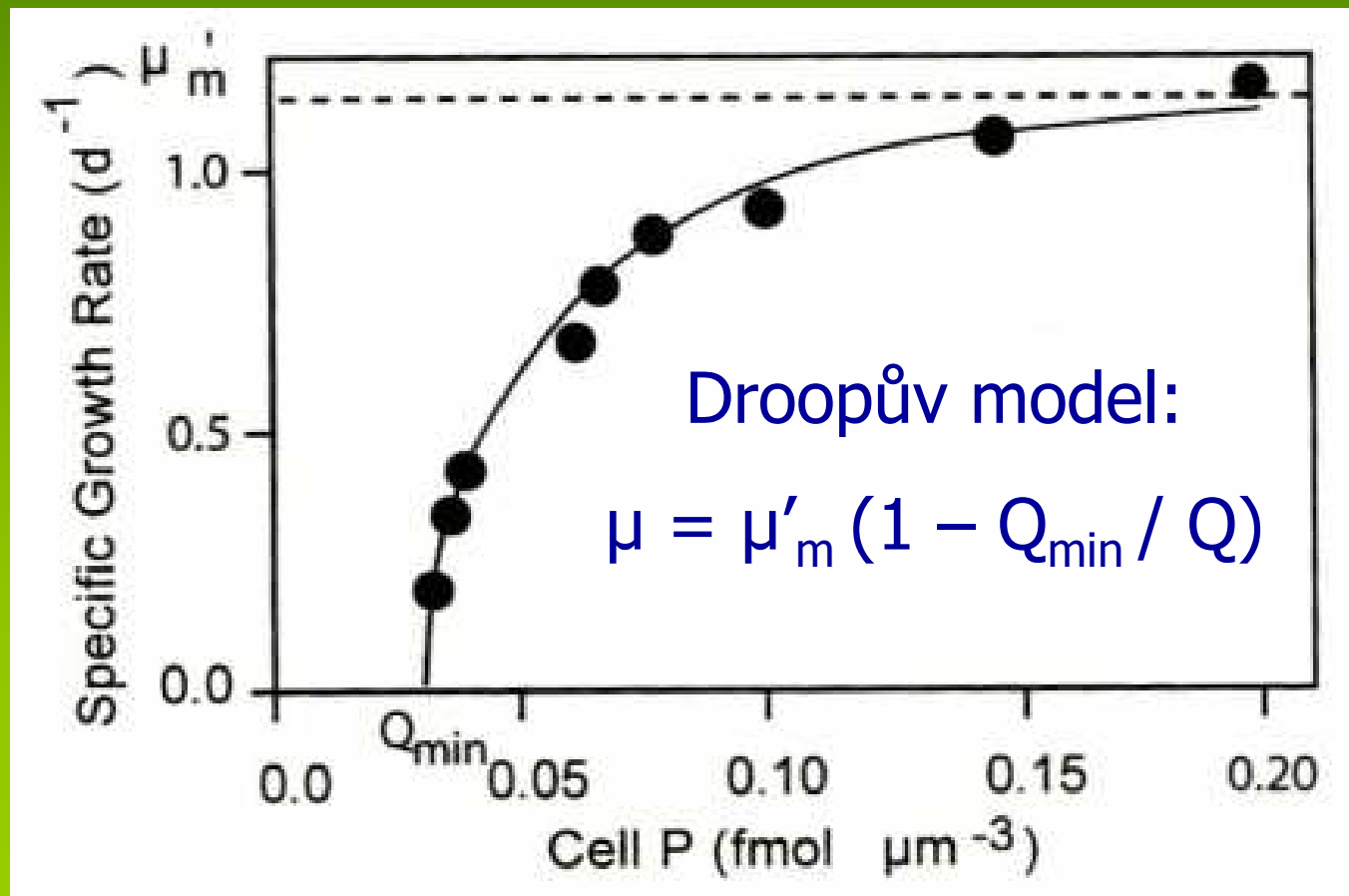
Složení organel – vnitrobuněčná stechiometrie



Autotrofní růst (stechiometrie producentů)

Nezastupitelný zdroj — buněčné minimum (práh)

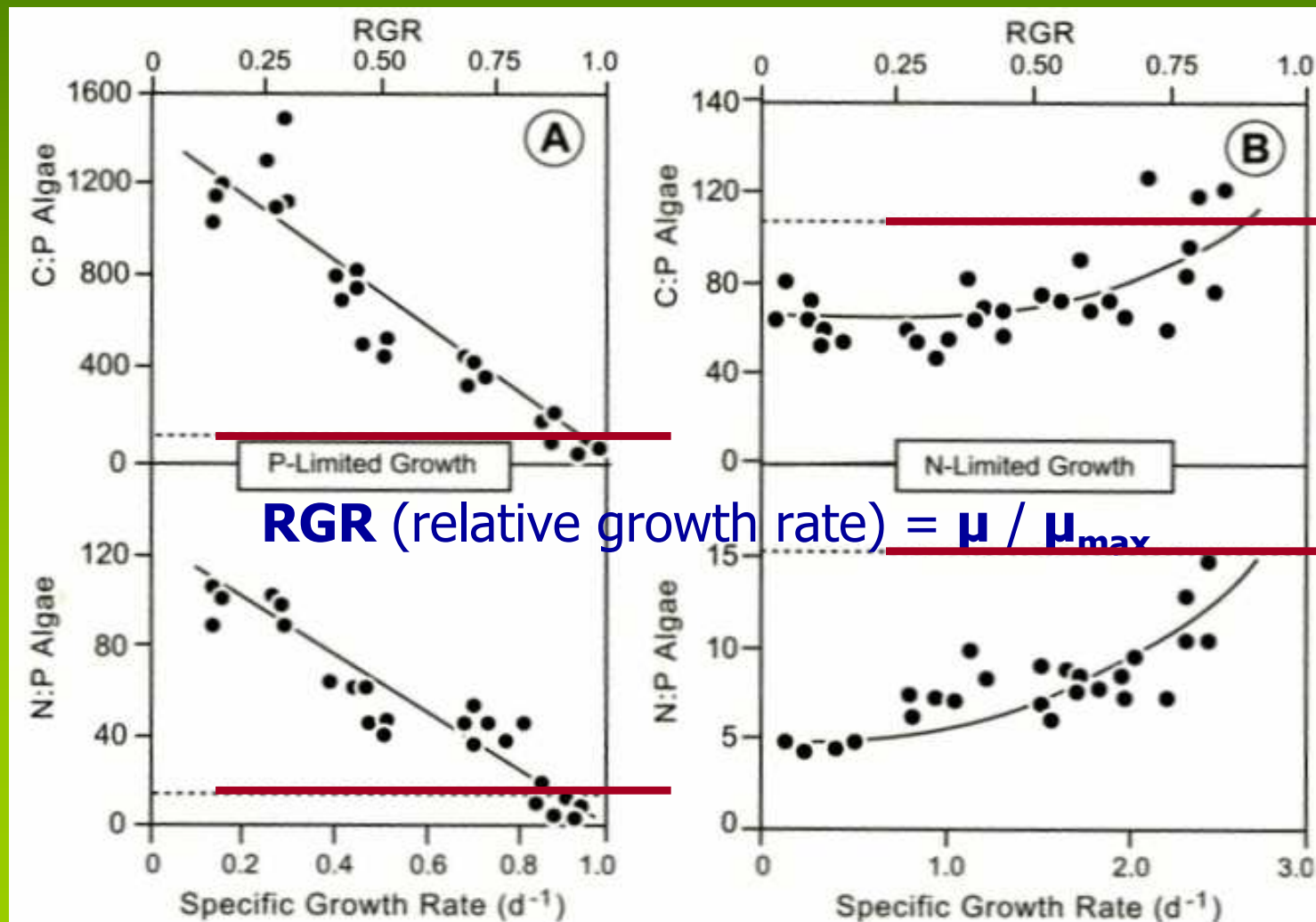
Droop (1974) – cell quota: Q_{\min} (mol cell⁻¹, když $\mu = 0$)



Autotrofní růst (stechiometrie producentů)

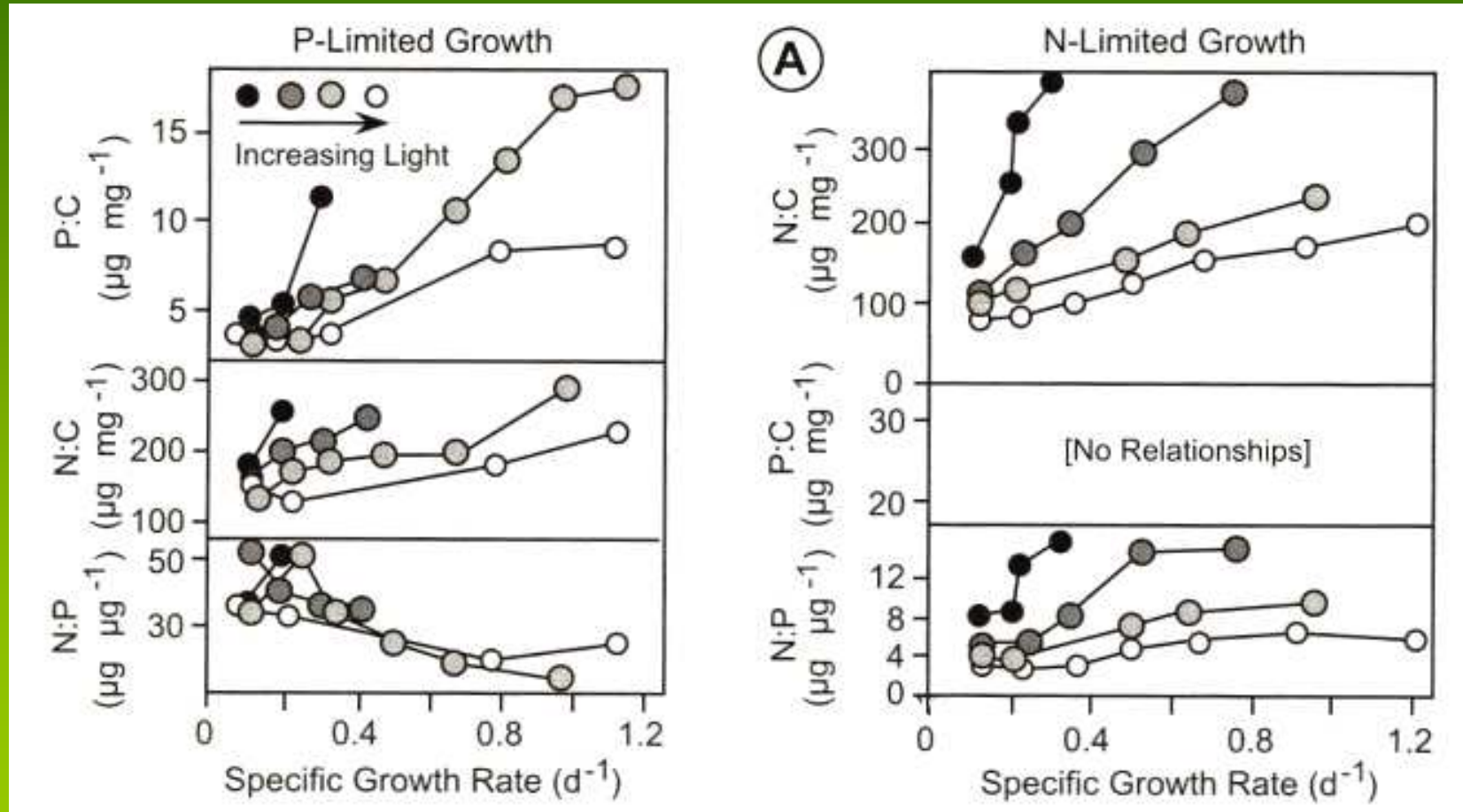
Stechiometrie autotrofů závisí na **míře limitace živinami**

Molární poměry C:N, C:P, N:P



Autotrofní růst (stechiometrie producentů)

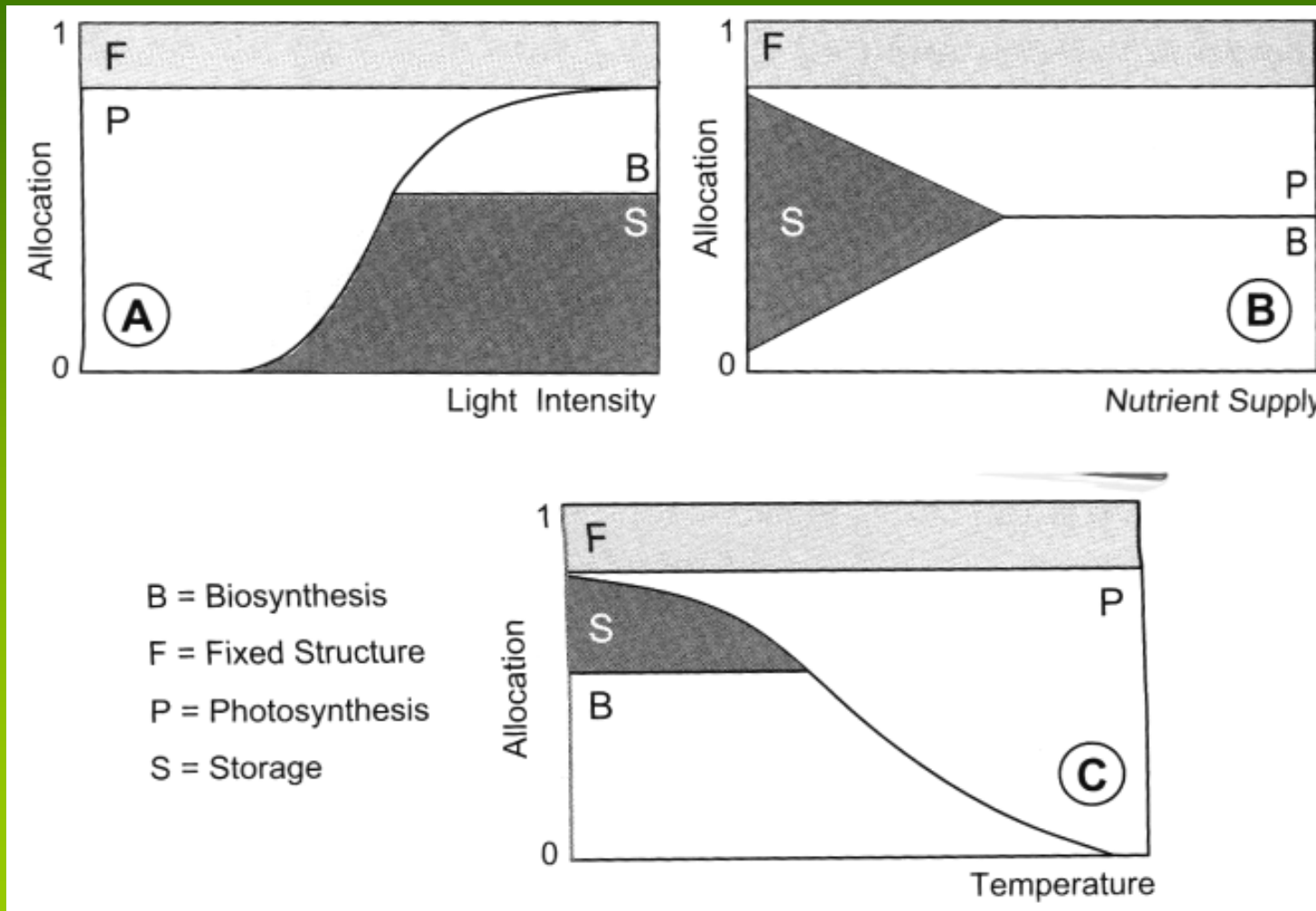
Vliv světla ? – poměr světlo:živiny



Maximální světlo neznamená optimální růst !

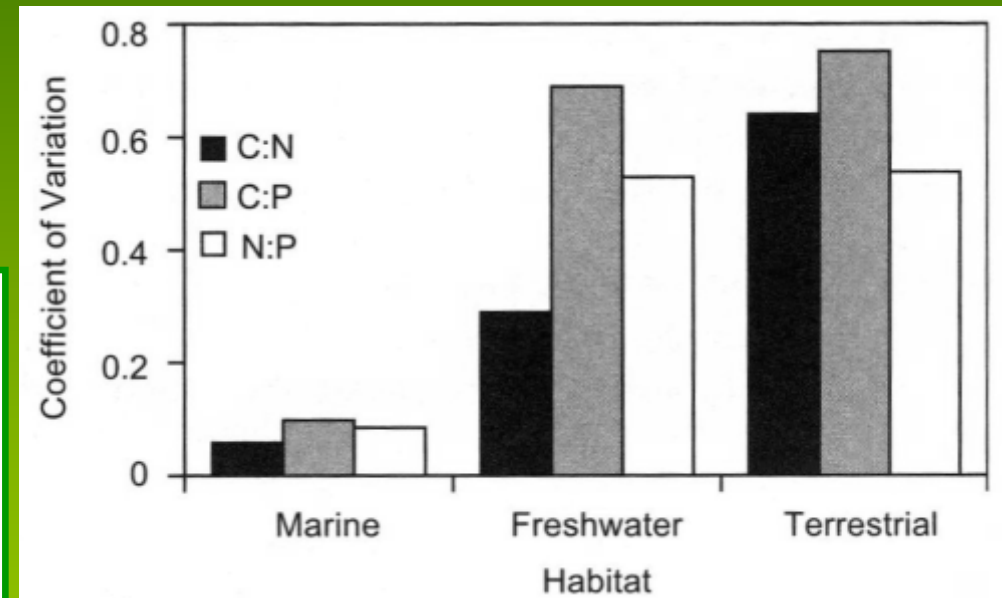
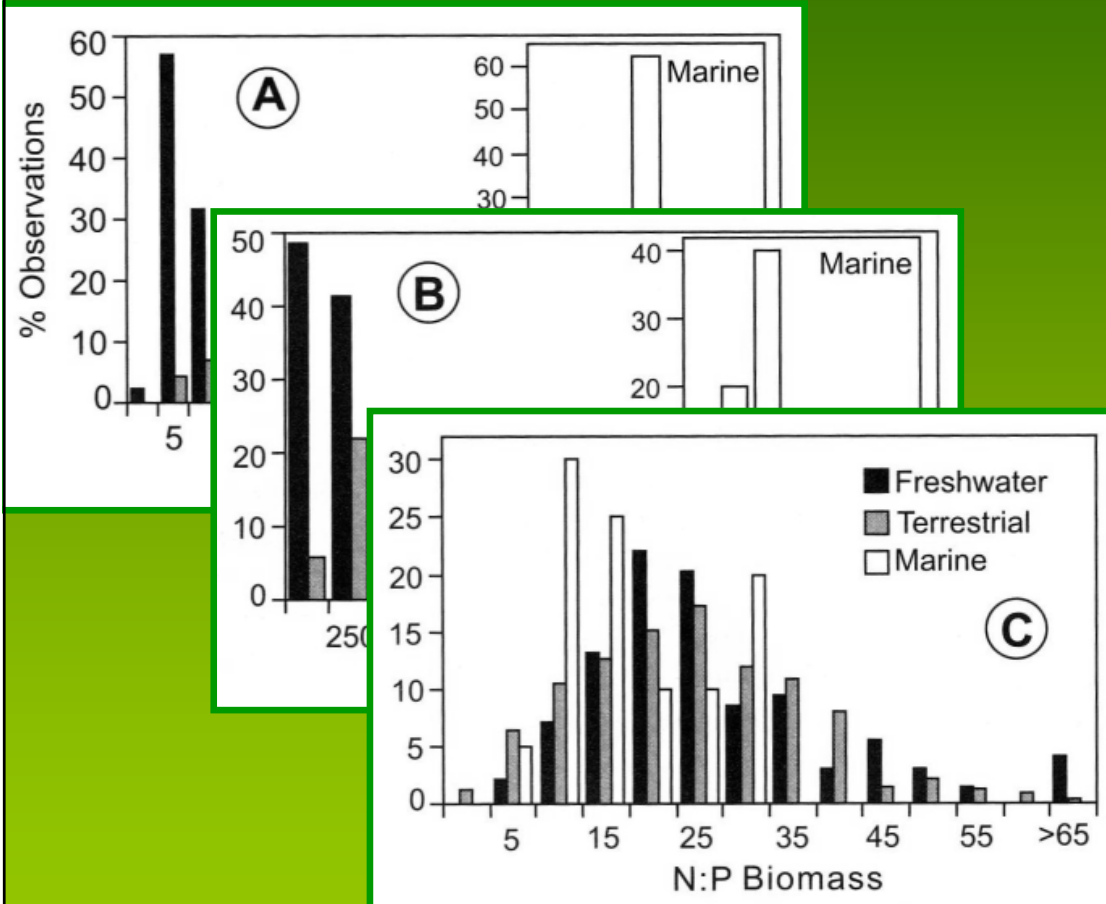
Autotrofní růst (stechiometrie producentů)

Prediktivní model alokace u řas (Shuter 1979)



Autotrofní růst (stechiometrie producentů)

Variabilita v základu potravních sítí (potr. pyramidy)



oceány – stabilní stechiometrie hl. živin (**C:N:P** = Redfieldův poměr)

kontinenty (terestrické i vodní ekosystémy) – **variabilní C:N:P**

Průměrný fytoplankton – stechiometrická fikce ?

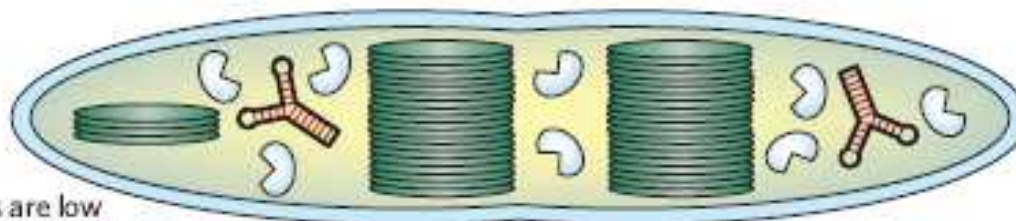
K-stratégové

The 'survivalist'

Has a high N:P ratio (>30)

Can sustain growth when resources are low

Contains copious resource-acquisition machinery



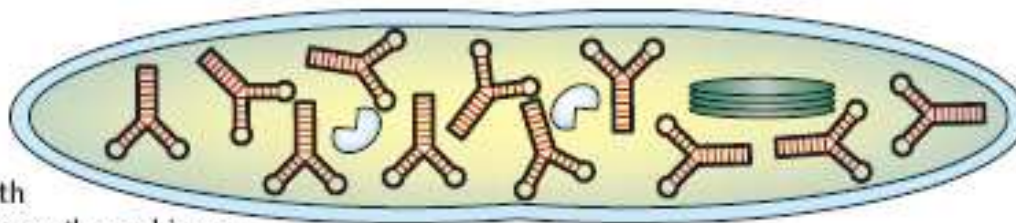
r-stratégové

The 'bloomer'

Has a low N:P ratio (<10)

Adapted for exponential growth

Contains a high proportion of growth machinery



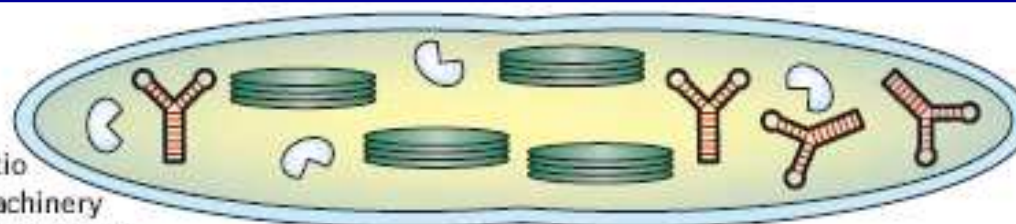
The 'generalist'

Has a N:P ratio near the Redfield ratio

Balances growth and acquisition machinery

Do many species with these attributes exist?

Does the Redfield ratio mostly reflect a balance between survivalists and bloomers in a population?



= ideální fytoplankton

Growth machinery



Ribosomal RNA has a low N:P ratio

Resource-acquisition machinery



Enzymes have a high N:P ratio



Pigment/proteins have a high N:P ratio

N₂ fixátoři

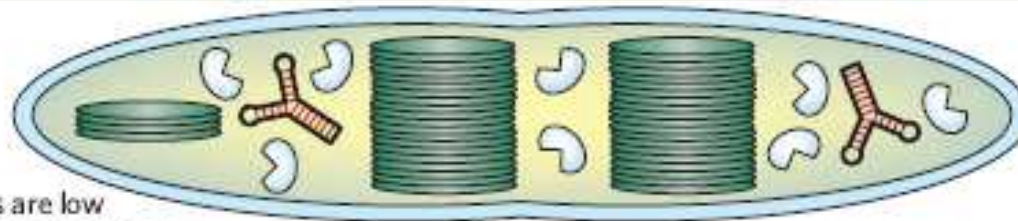
N:P > 40

Stechiometrie fytoplanktonu – evoluční rozdíly

„Chlorophyta“ – poměr **C:N:P** ~ **200:27:1** (jezera!)

K-stratégové

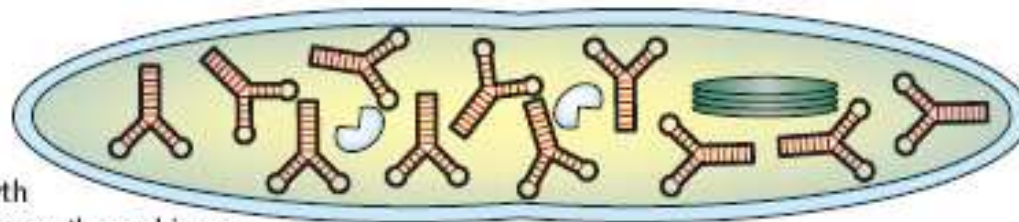
The 'survivalist'
Has a high N:P ratio (>30)
Can sustain growth when resources are low
Contains copious resource-acquisition machinery



N₂ fixátoři
N:P > 40

r-stratégové

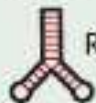
The 'bloomer'
Has a low N:P ratio (<10)
Adapted for exponential growth
Contains a high proportion of growth machinery



„Rhodophyta“ – poměr **C:N:P** ~ **70:10:1** (bakterie!)

Eutrofizace povrchových vod = **změna diverzity!**

Growth machinery



Ribosomal RNA has a low N:P ratio

Resource-acquisition machinery



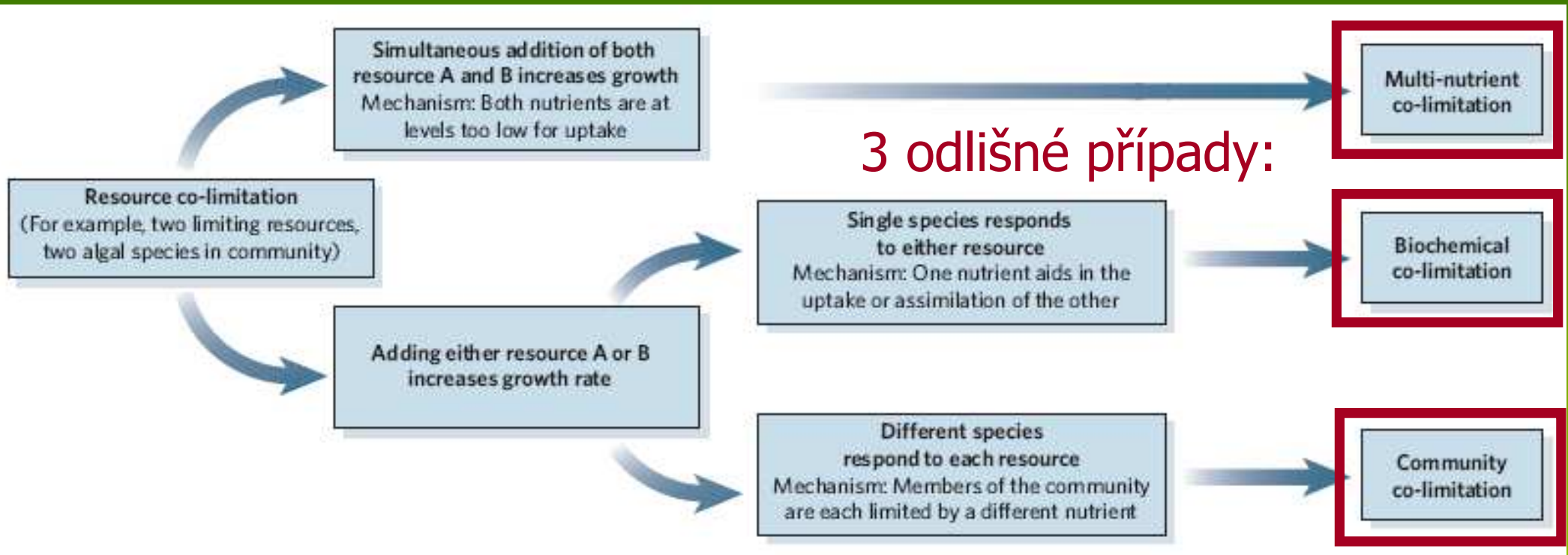
Enzymes have a high N:P ratio



Pigment/proteins have a high N:P ratio

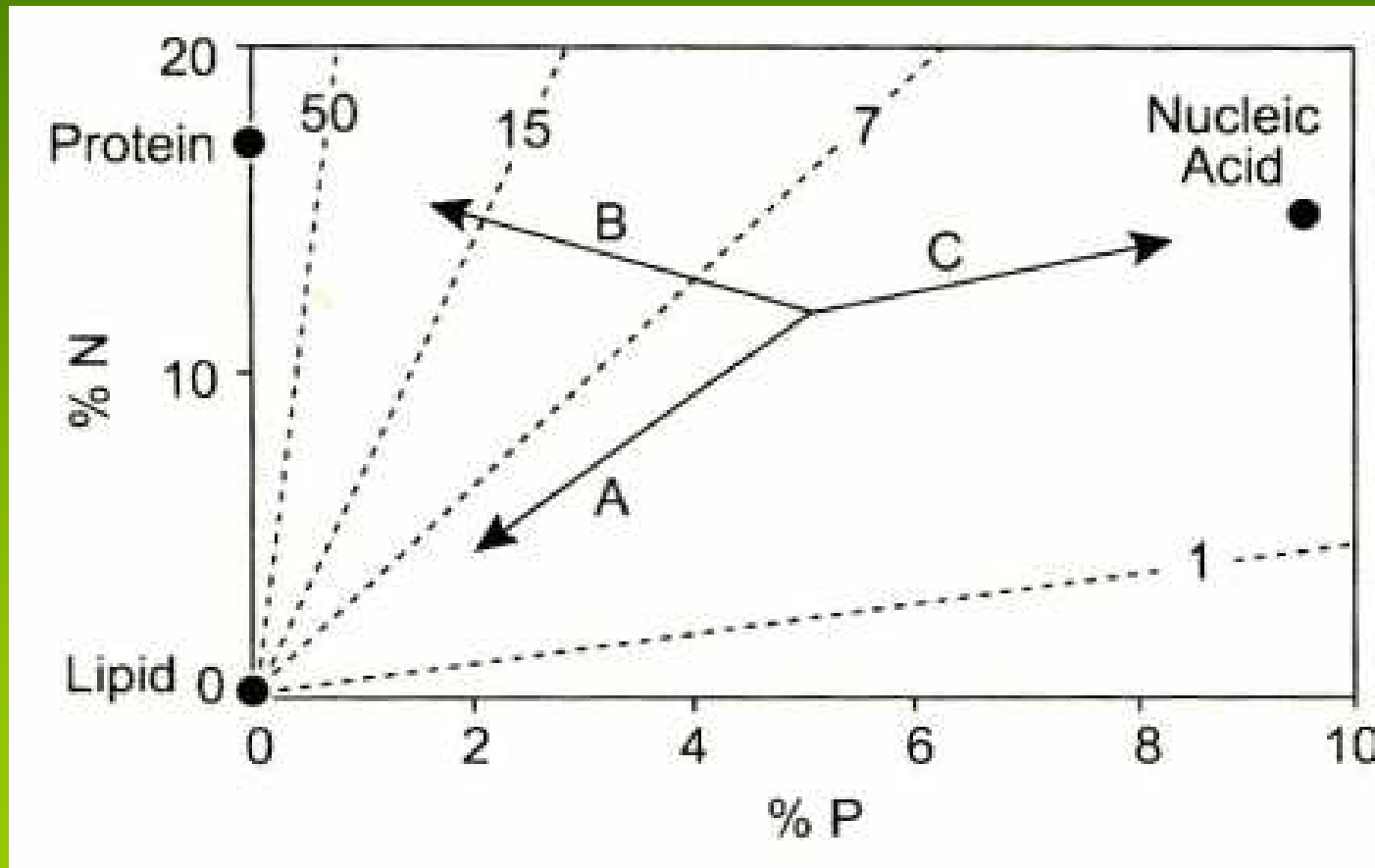
Multiple resource co-limitation

současná limitace producenta více nezastupitelnými zdroji

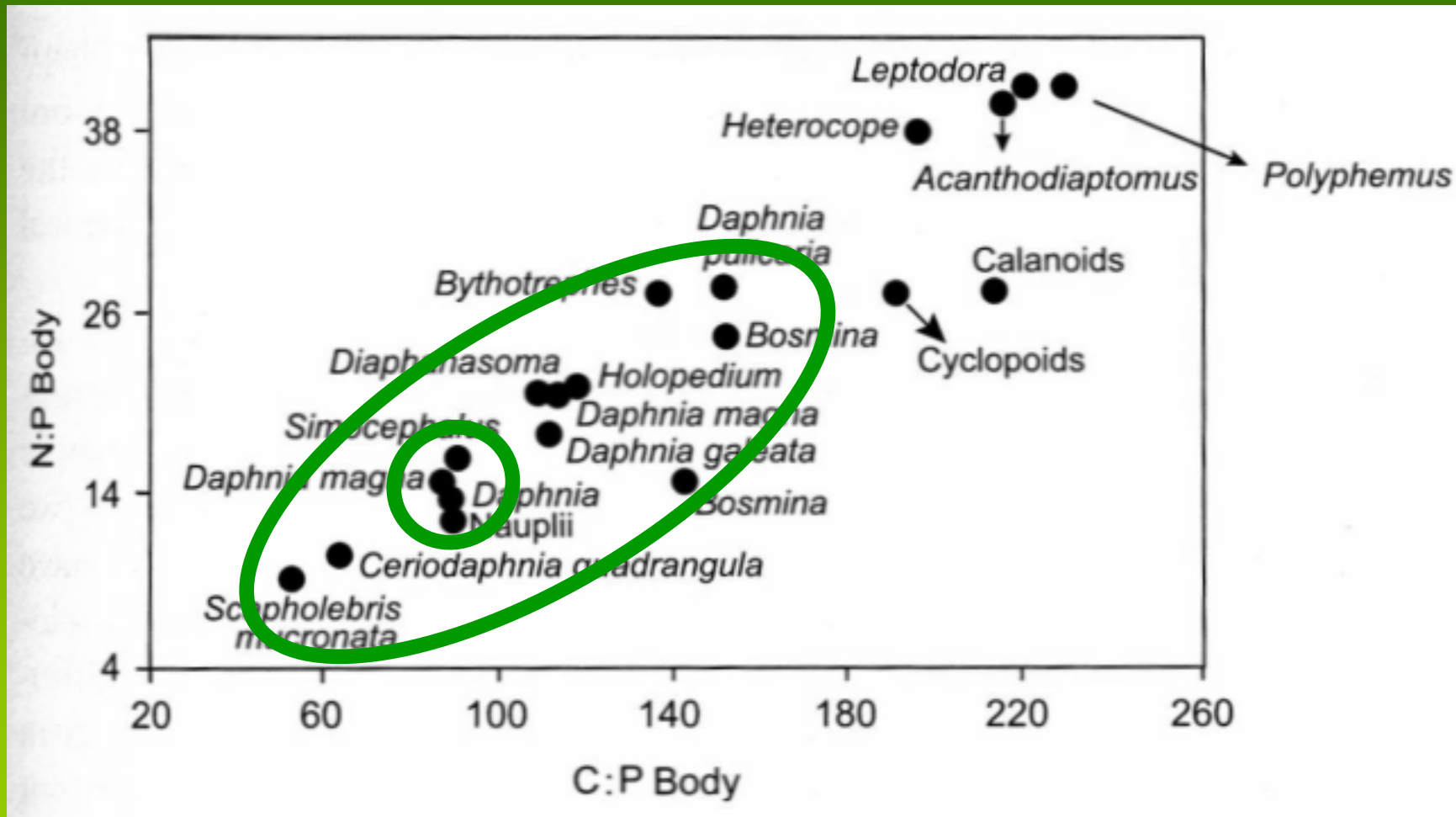


Heterotrofní homeostáze (stechiometrie konzumentů)

Růst — využití zdrojů = změna stechiometrie

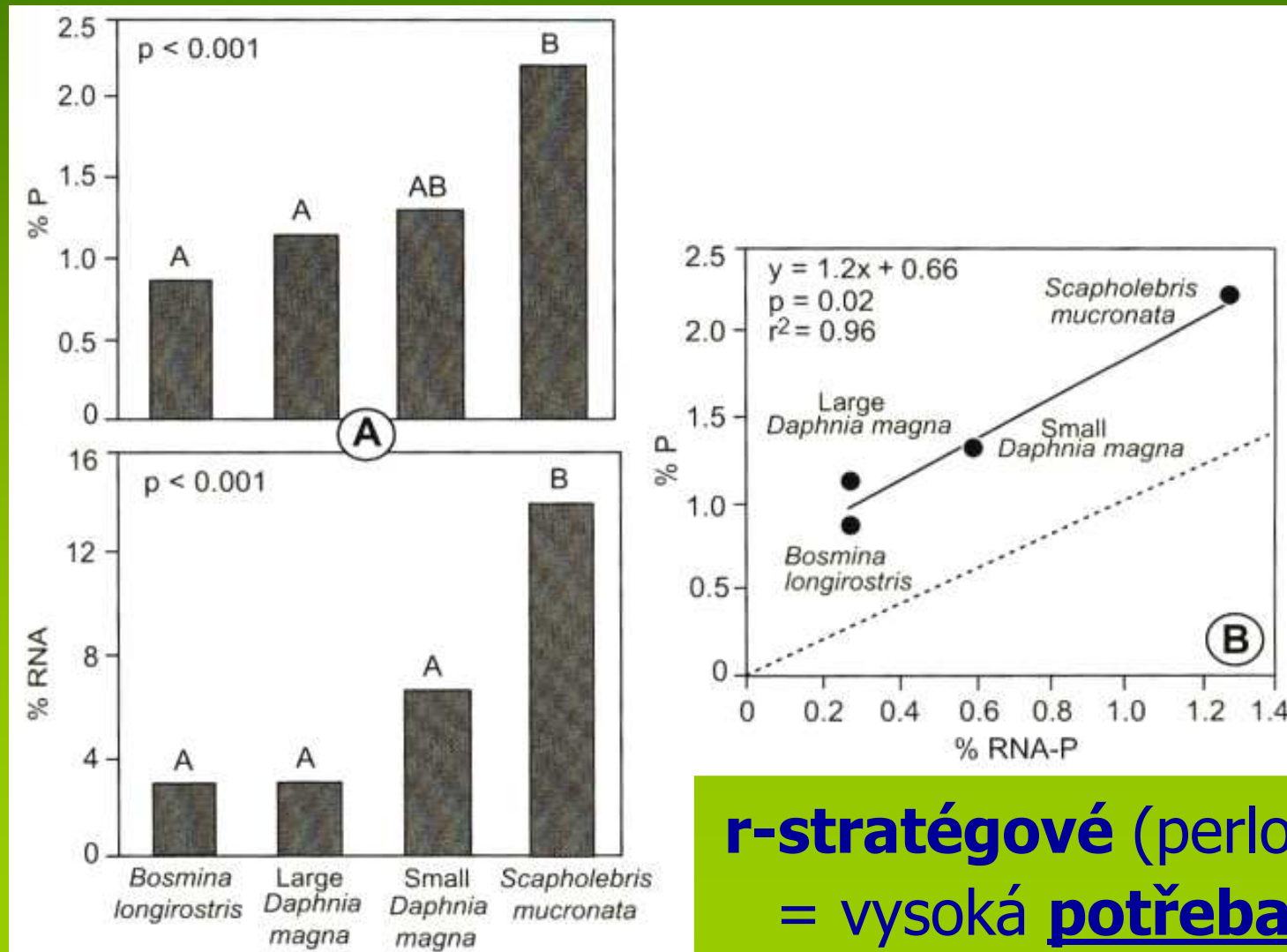


Heterotrofní homeostáze – Zooplankton (stechiometrie bezobratlých)



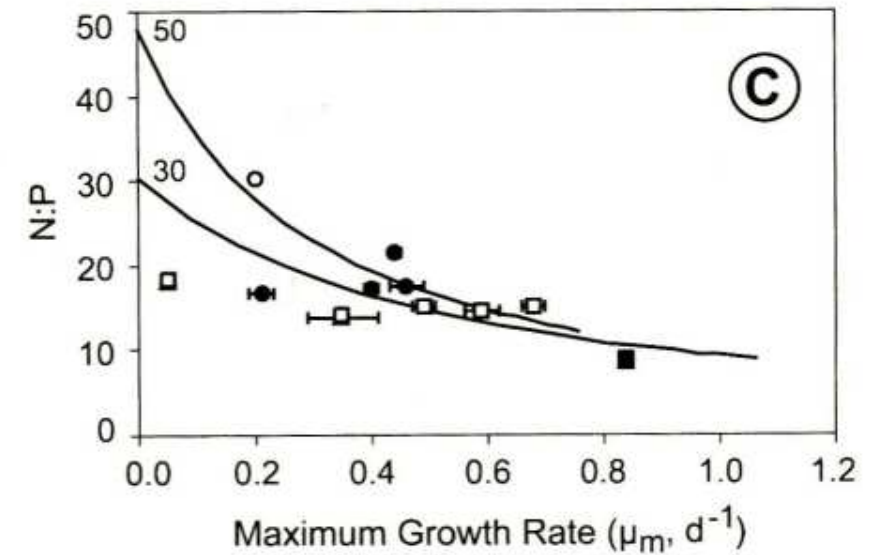
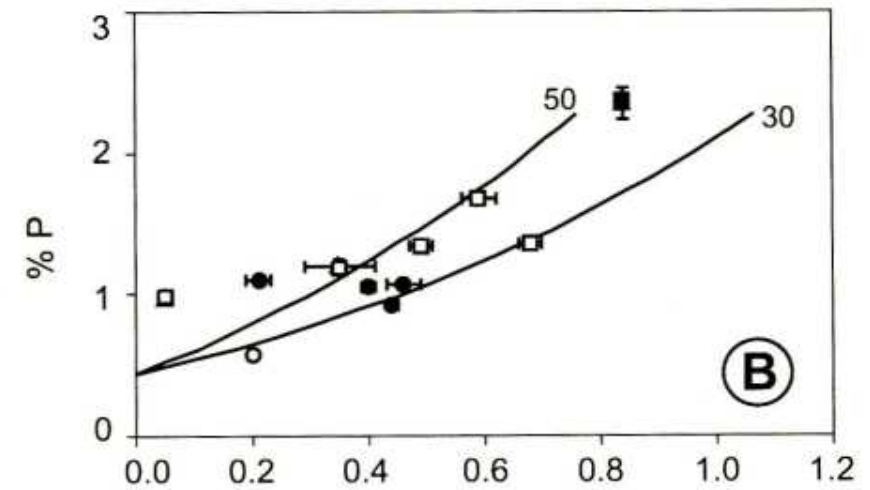
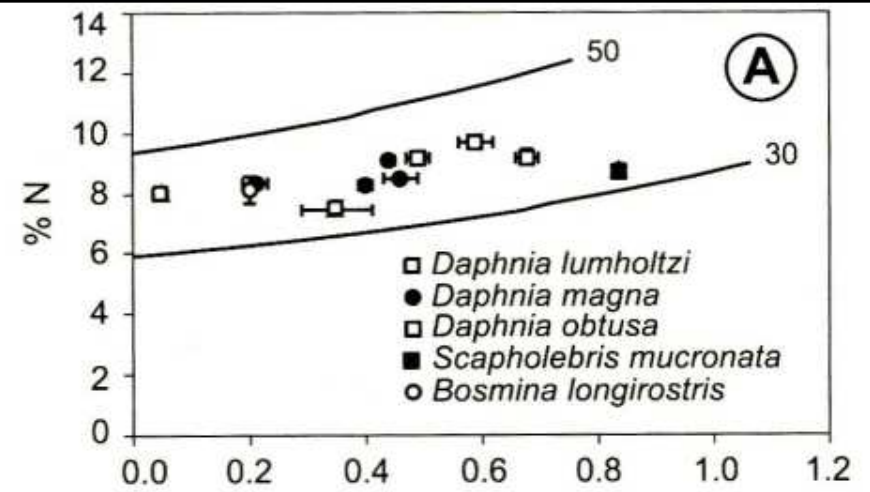
Heterotrofní homeostáze – Zooplankton (stechiometrie bezobratlých)

Growth Rate Hypothesis (GRH) = ribozomy



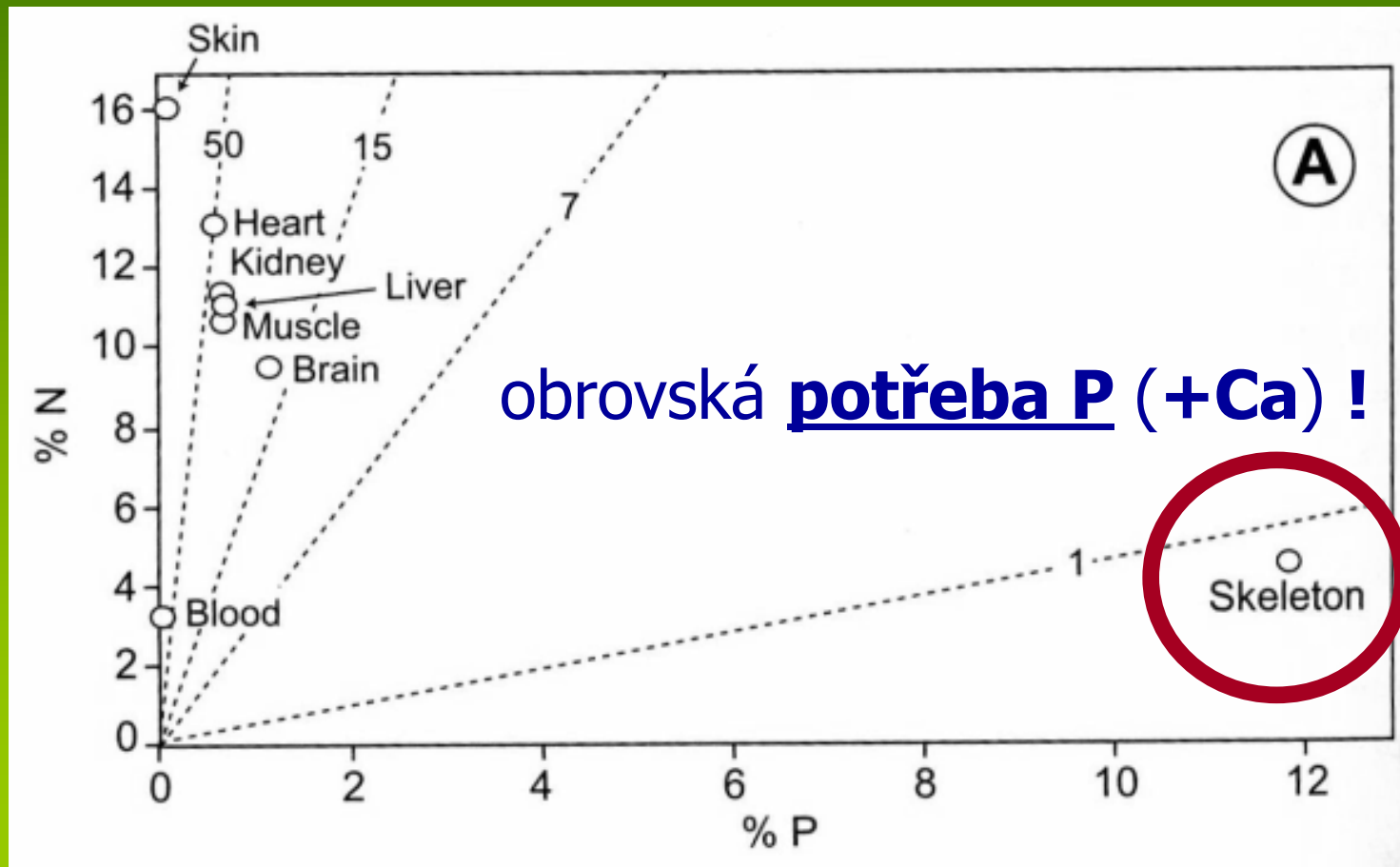
r-stratégové (perloočky)
= vysoká potřeba P !

DE ribosome kinetics (Dobberfuhl a Elser)



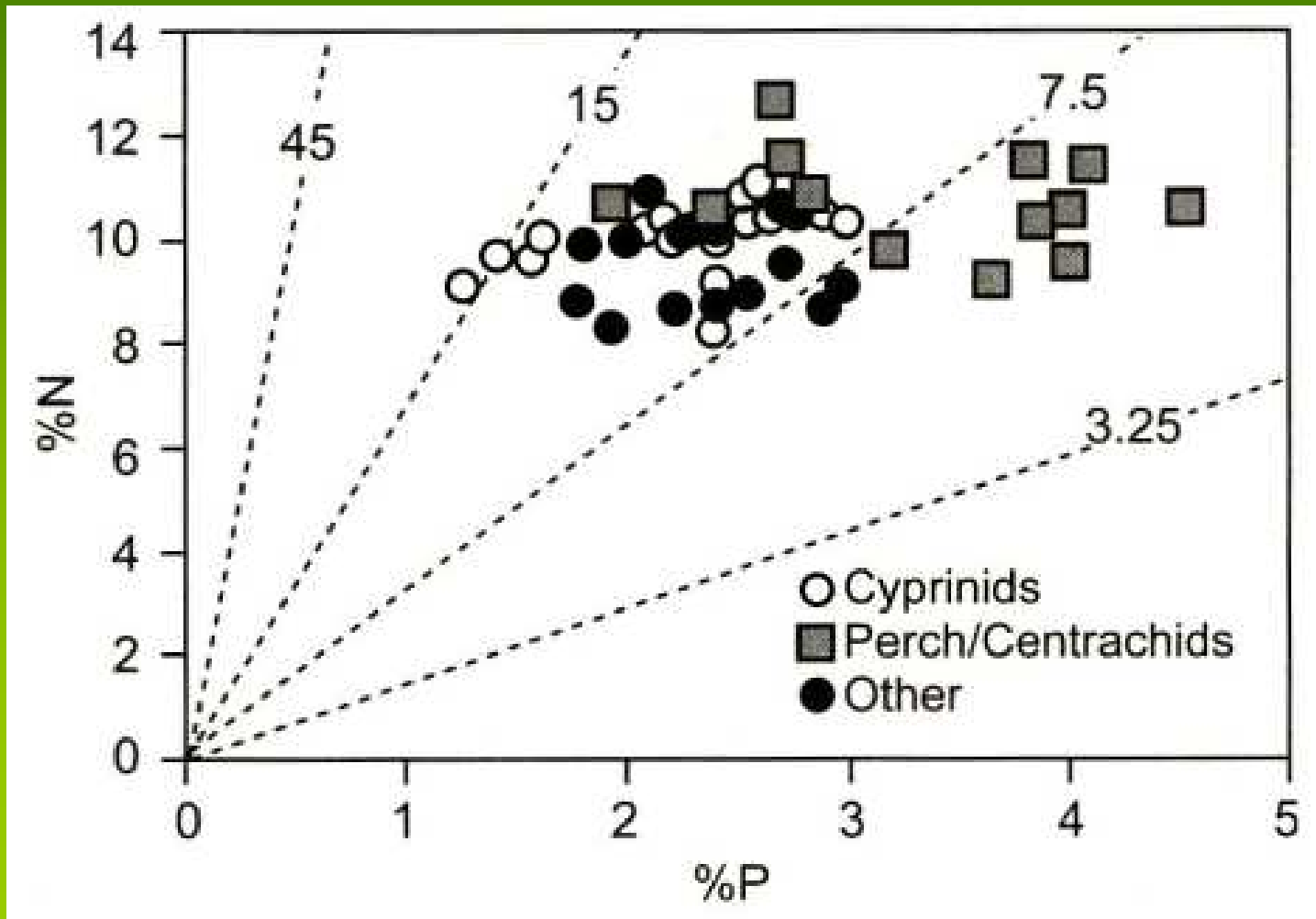
Heterotrofní homeostáze – Ryby (stechiometrie obratlovců)

Strukturní investice = kostra



Heterotrofní homeostáze – Ryby (stechiometrie obratlovců)

Strukturní investice = kostra

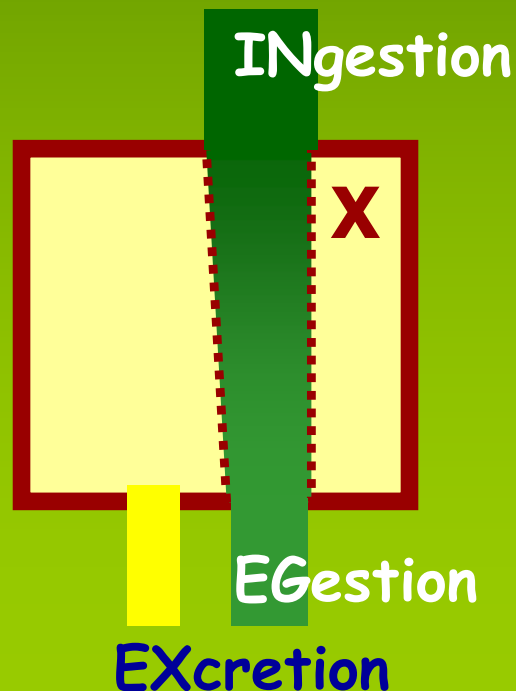


Nerovnováha zdrojů a růst živočichů

Zákon zachování hmoty = stechiometrický vztah

konzument–zdroj:

X biomasa konz. + Y zdroj \longrightarrow X biomasa konz. +
 aY biomasa konz. + $(1 - a)Y$ odpadní produkt



$$g' = IN - (EG + EX) \quad [\text{growth rate}]$$

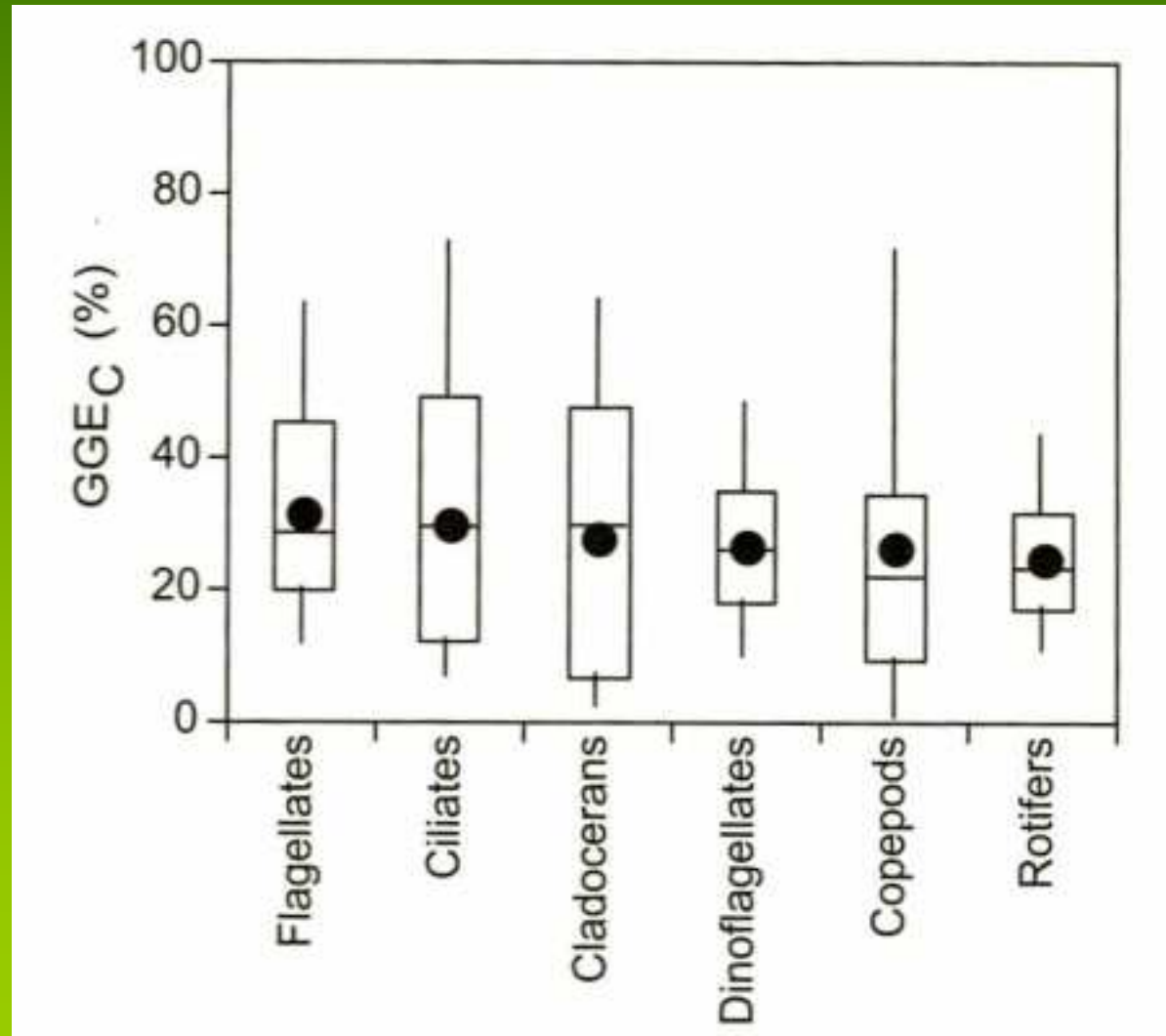
$$GGE = g'/IN = S \cdot NGE \quad [\text{gross growth efficiency}]$$

$$NGE = g'/(IN - EG) \quad [\text{net growth efficiency}]$$

$$S = (IN - EG)/IN \quad [\text{assimilation efficiency}]$$

Nerovnováha zdrojů – yield (výtěžek)

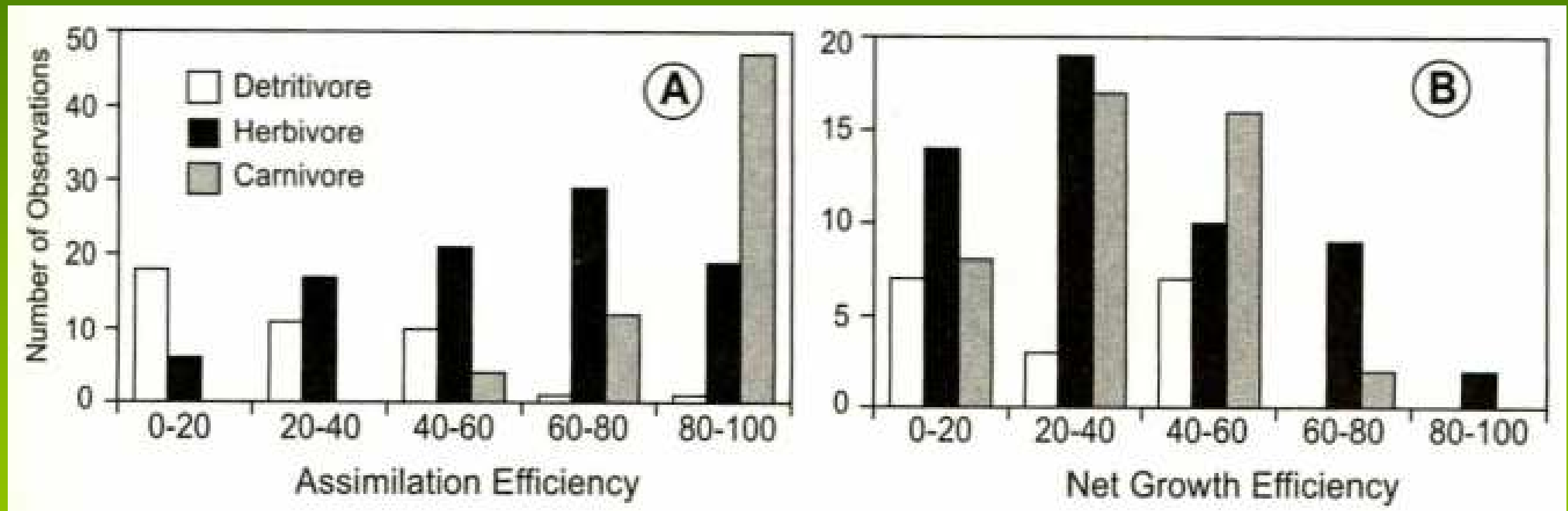
Velká variabilita GGE_C – taxonomické rozdíly



Nerovnováha zdrojů – yield (výtěžek)

Účinnosti se liší podle kvality zdroje = stechiometrie!

– detritivoři, herbivoři, karnivoři:



Limitovaný růst heterotrofů – hypotéza TER

Threshold Element Ratio (prahový poměr prvků/živin)

Liebigův zákon minima + stechiometrie (např. Fe, I, Se, Zn...)

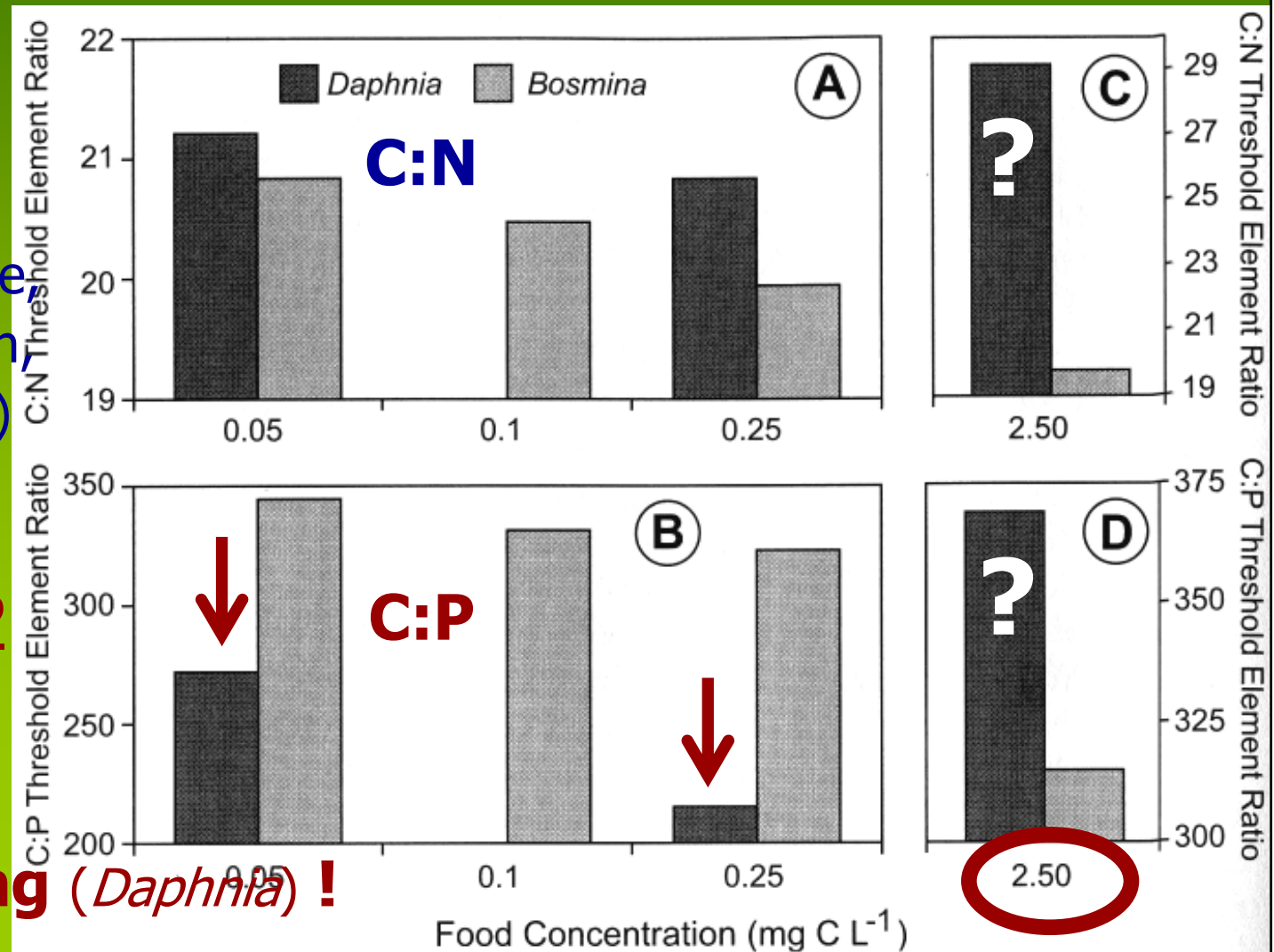
Zooplankton

C:N:P

(Urabe & Watanabe,
Anderson & Hessen,
Sterner & Elser aj.)

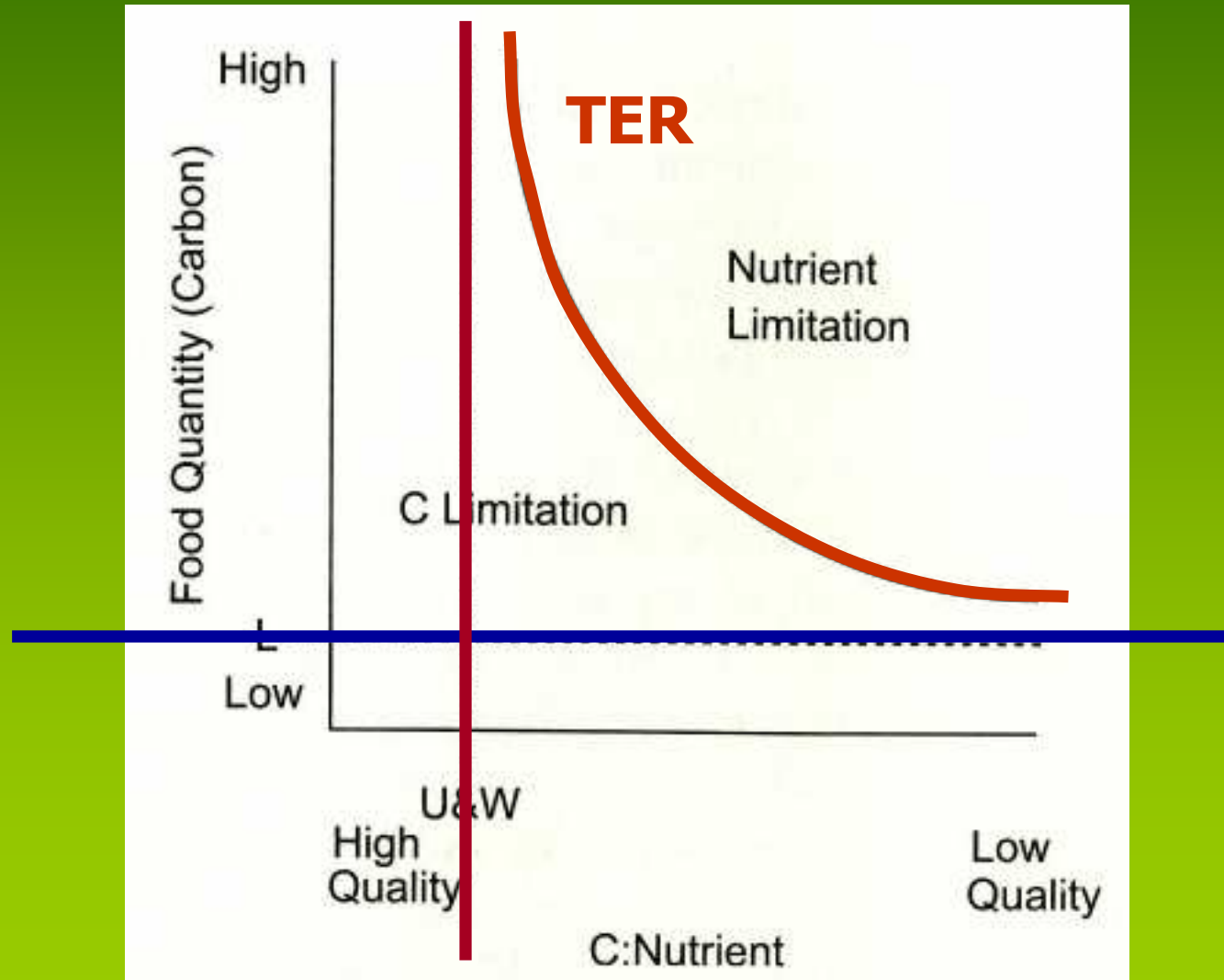
Daphnia = + P

Sloppy feeding (*Daphnia*) !



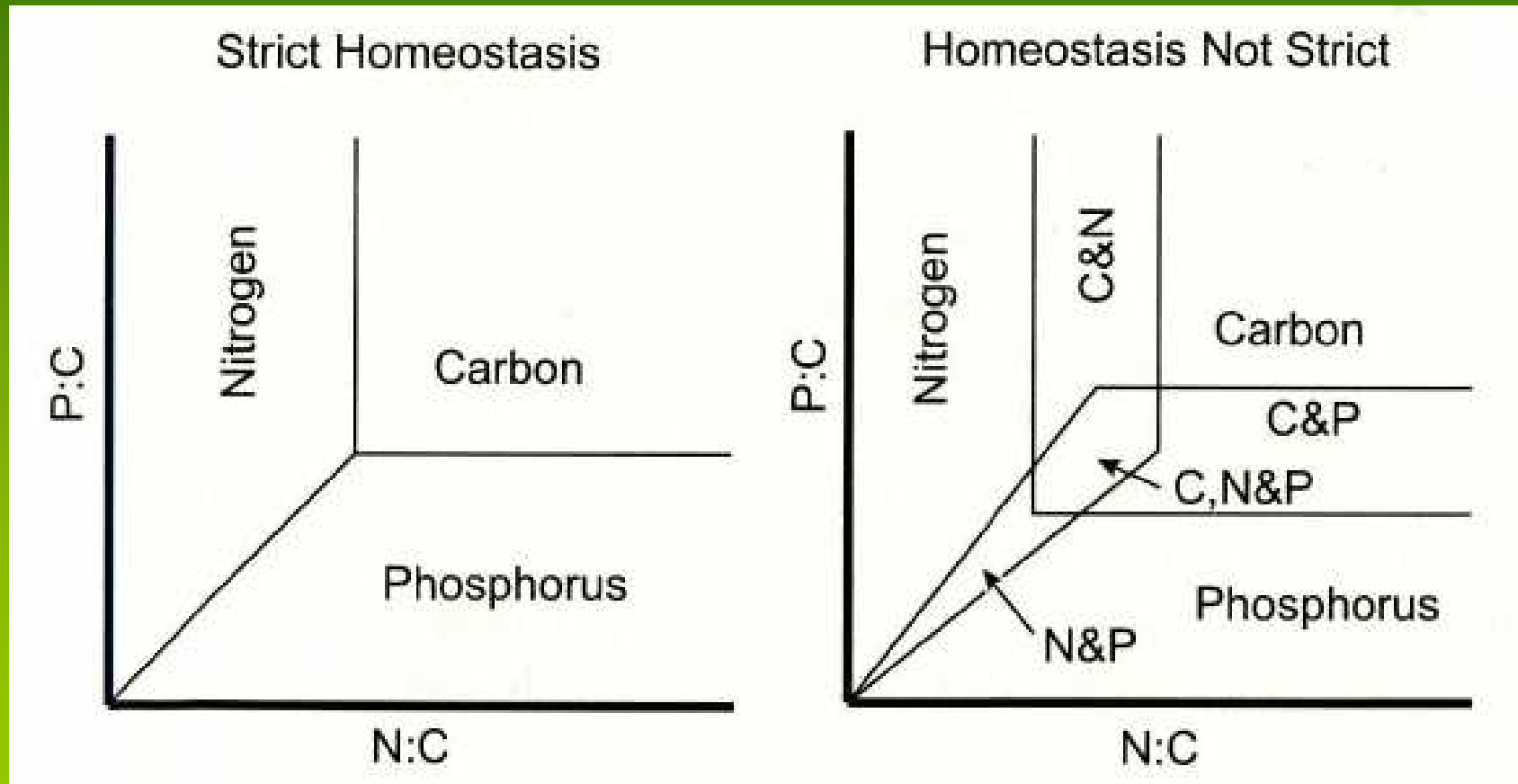
Limitovaný růst heterotrofů – hypotéza TER

Citlivost TER modelů na **kvalitu i kvantitu** zdroje



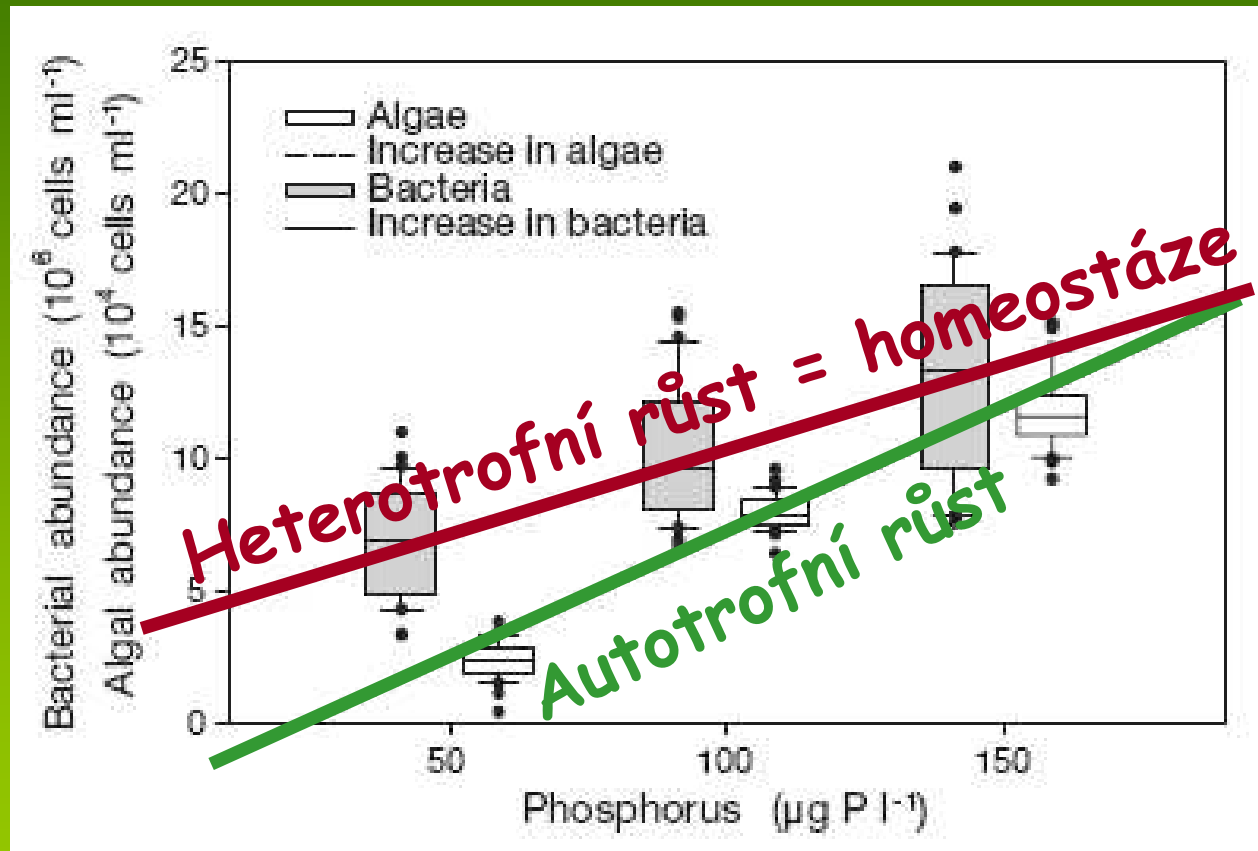
TER vs. multiple resource co-limitation

Bakterie – homeostáze C:N:P (Thingstad aj.)

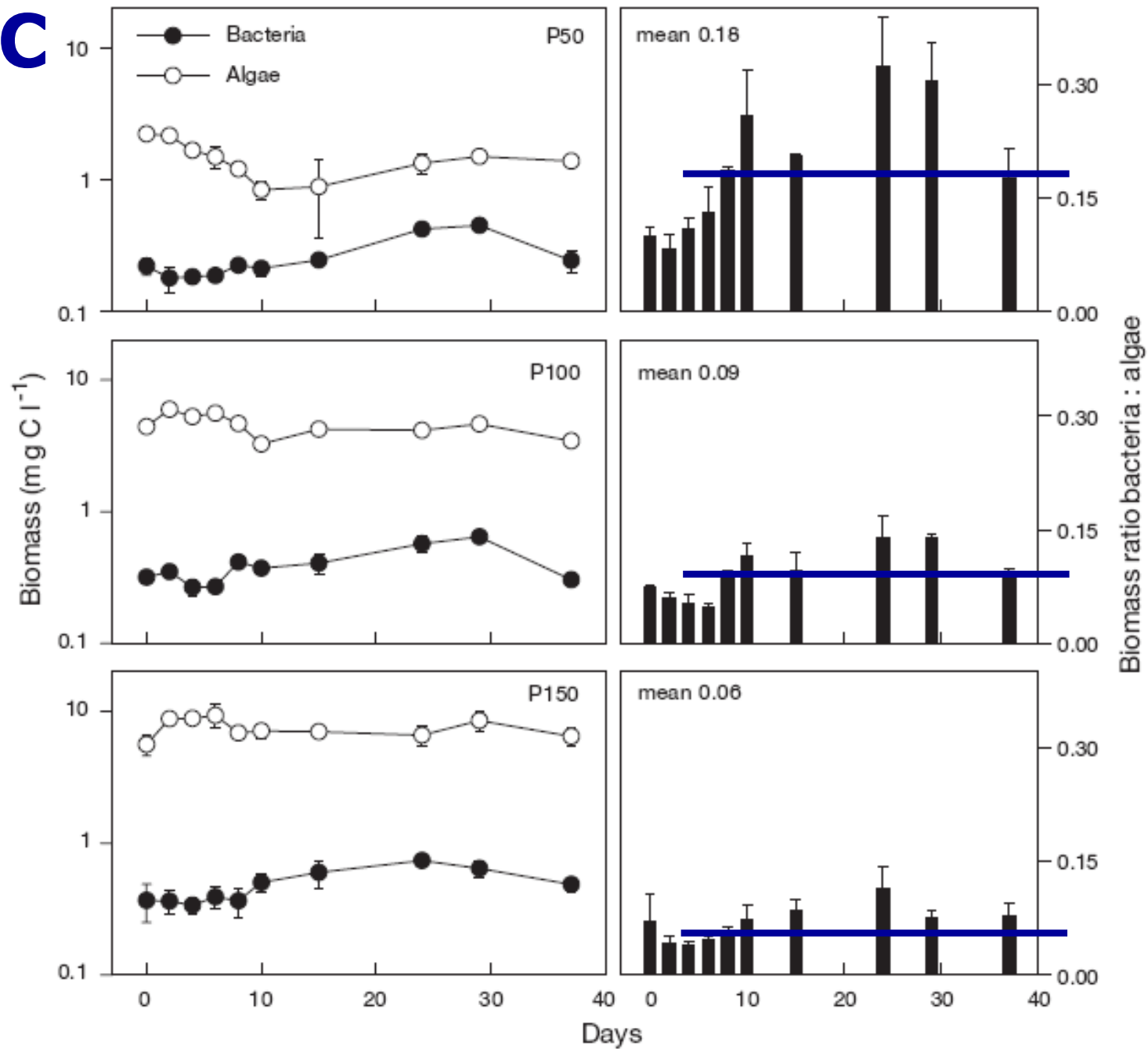


TER vs. konkurence o limitující zdroj (P)

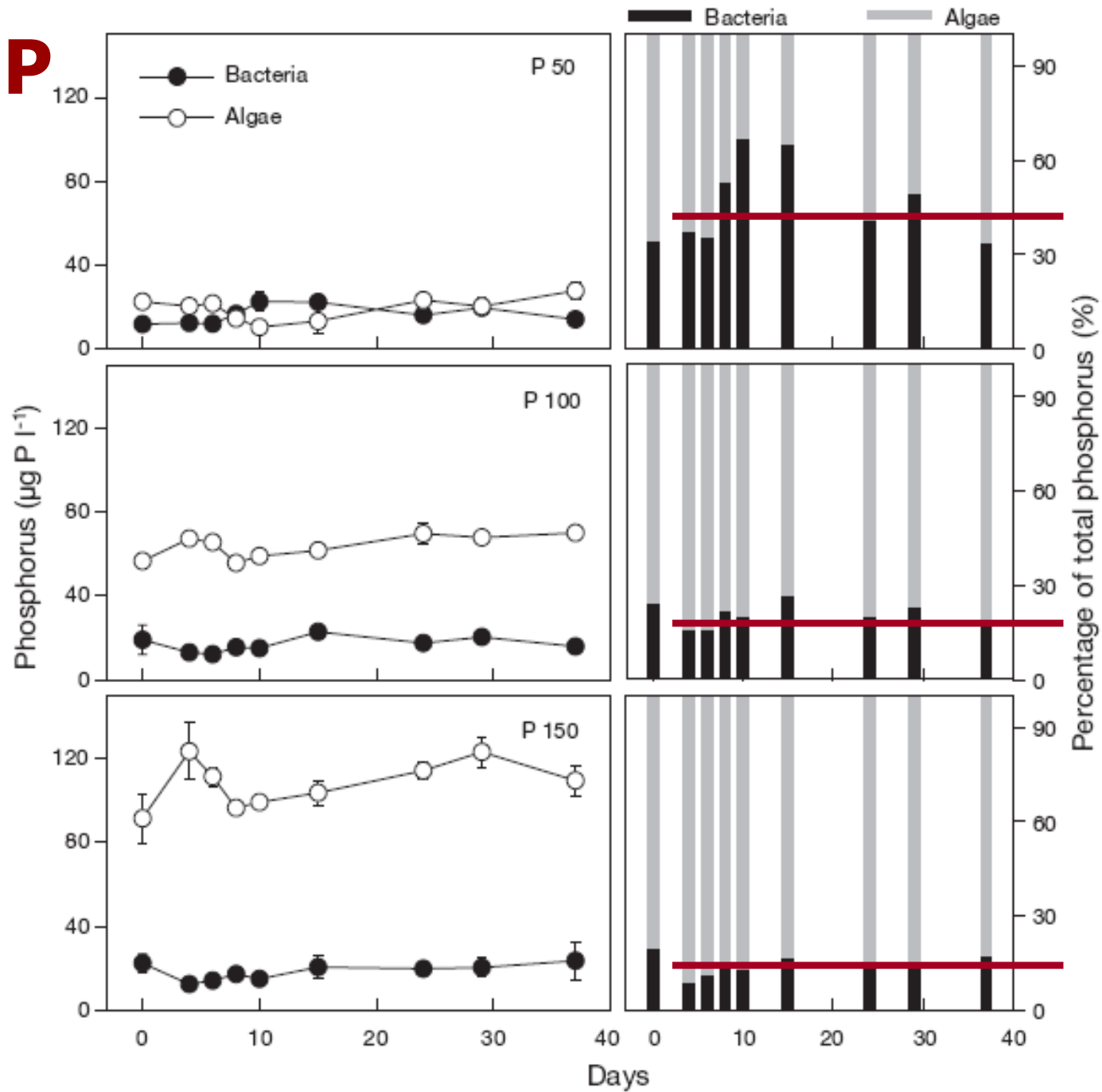
Revize paradoxu fytoplankton–bakterie (Thingstadt)



Konkurence = **komensalismus** nebo **nepřímá predace** ?

C

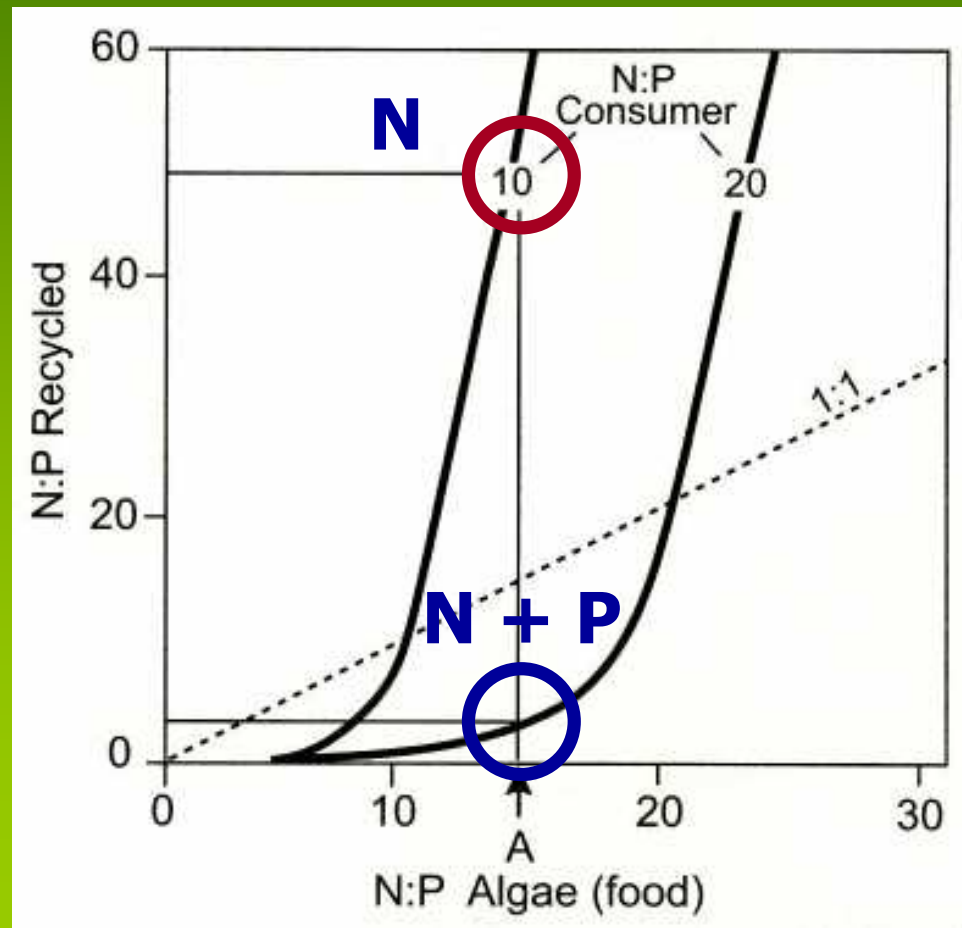
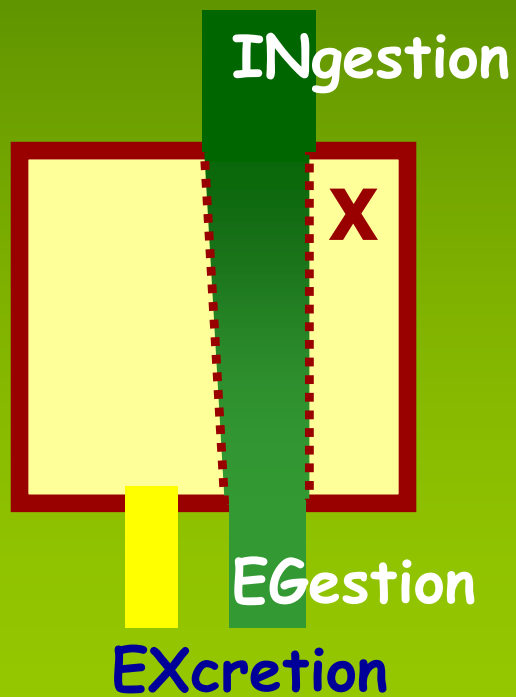
P



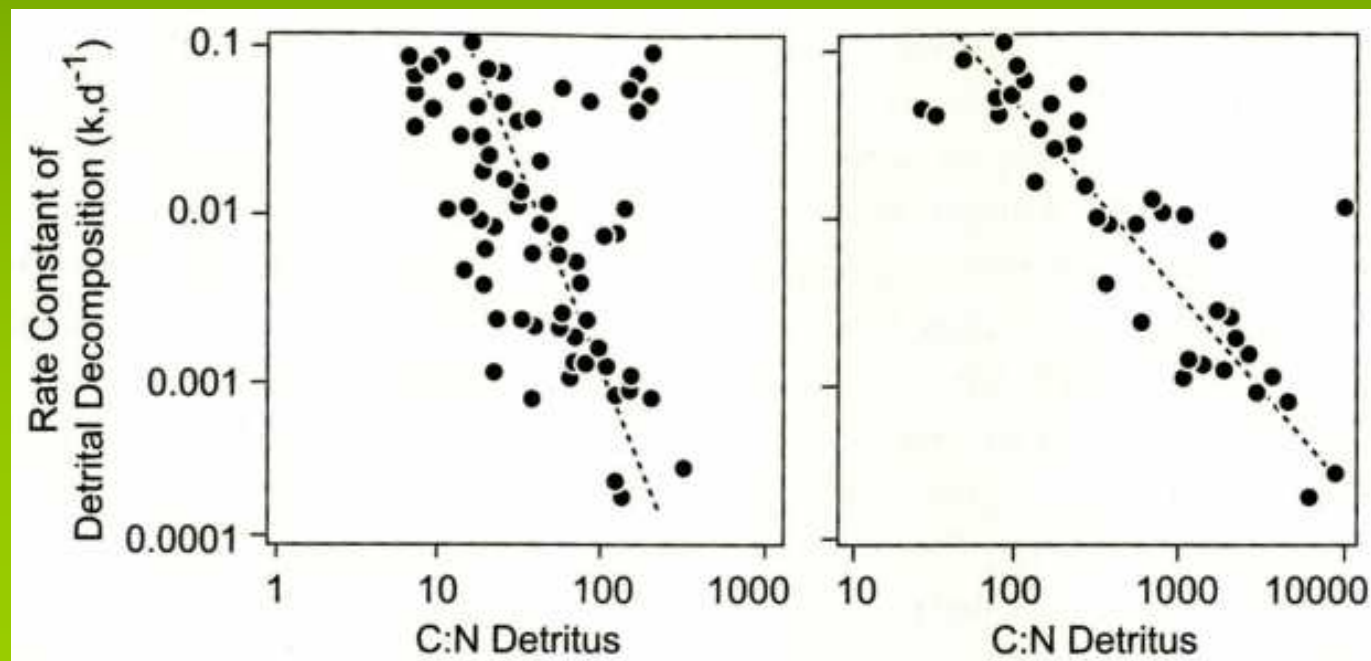
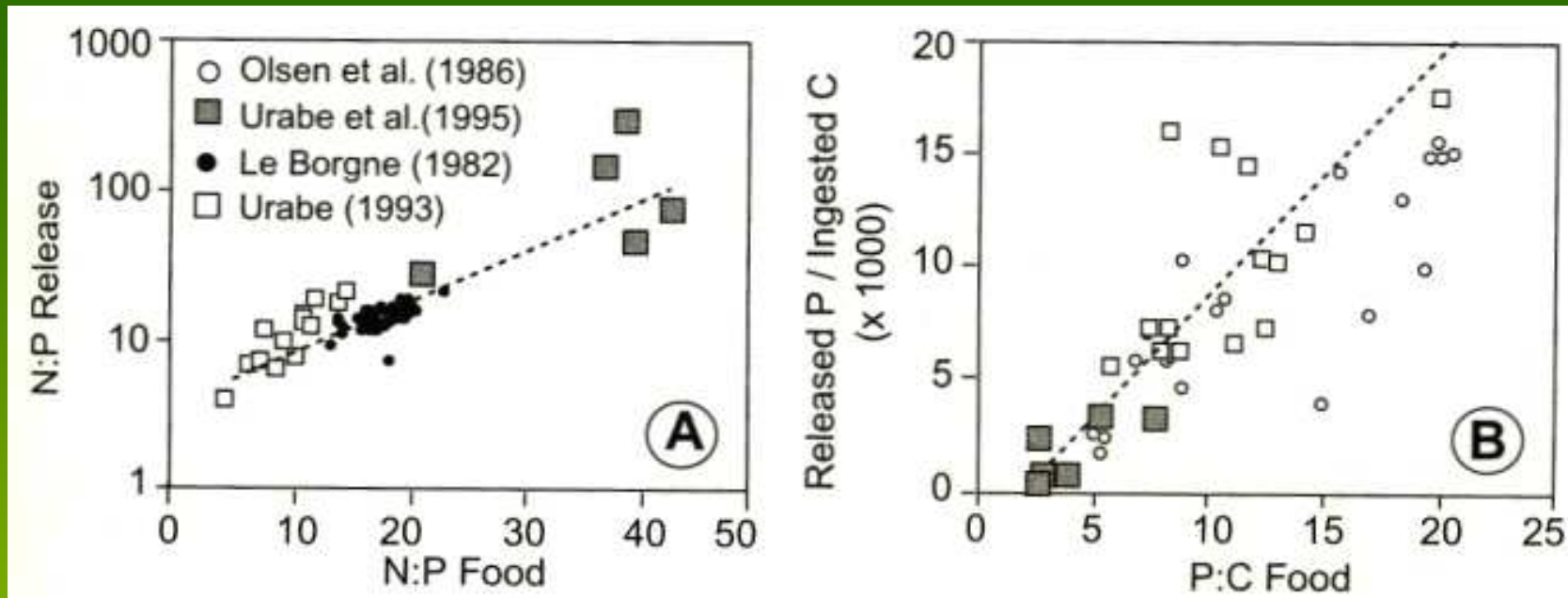
Nerovnováha zdrojů + homeostáze = **CNR**

Consumer-driven **Nutrient Recycling**

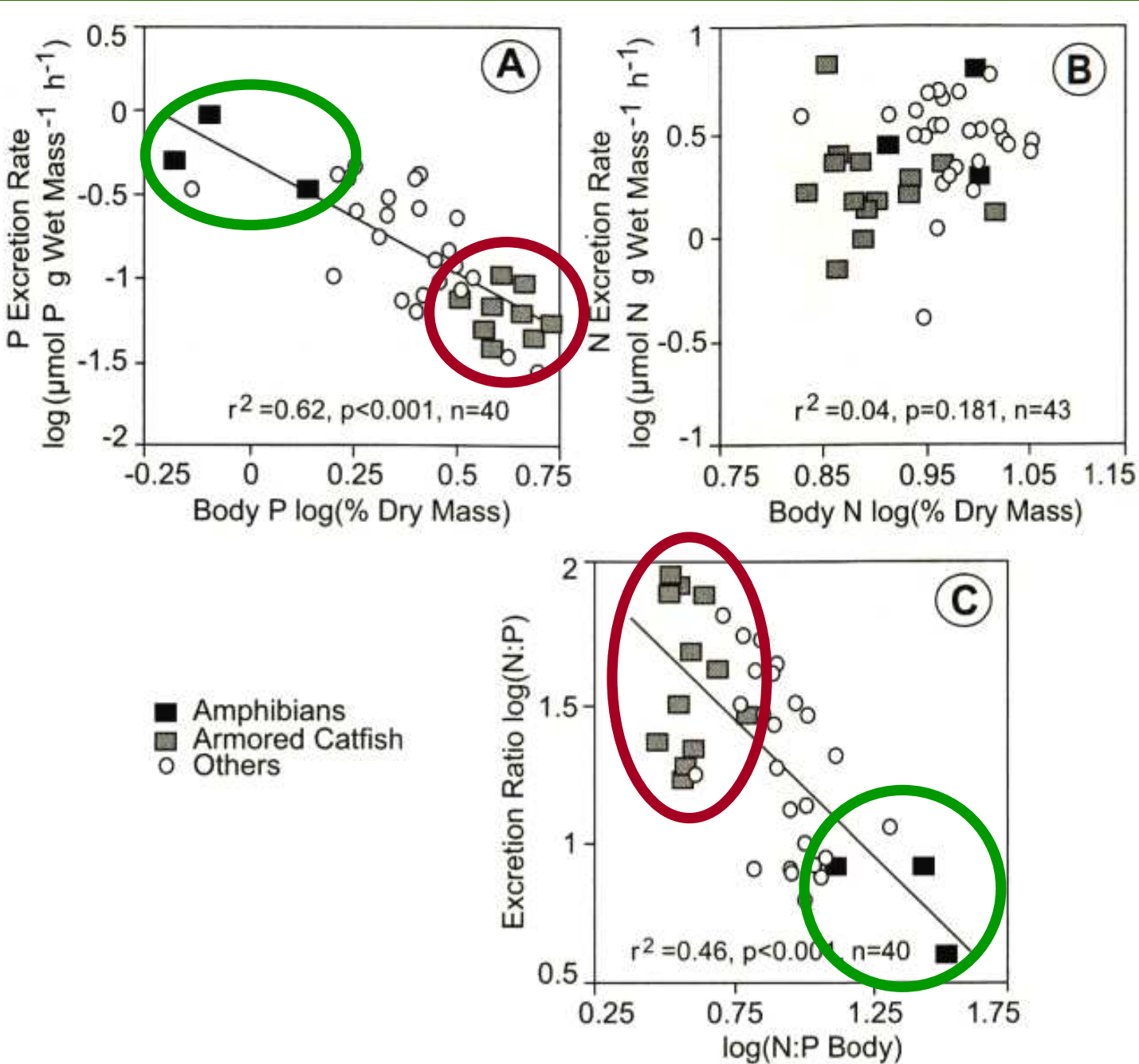
Regenerace N a P = stechiometrie konzumenta



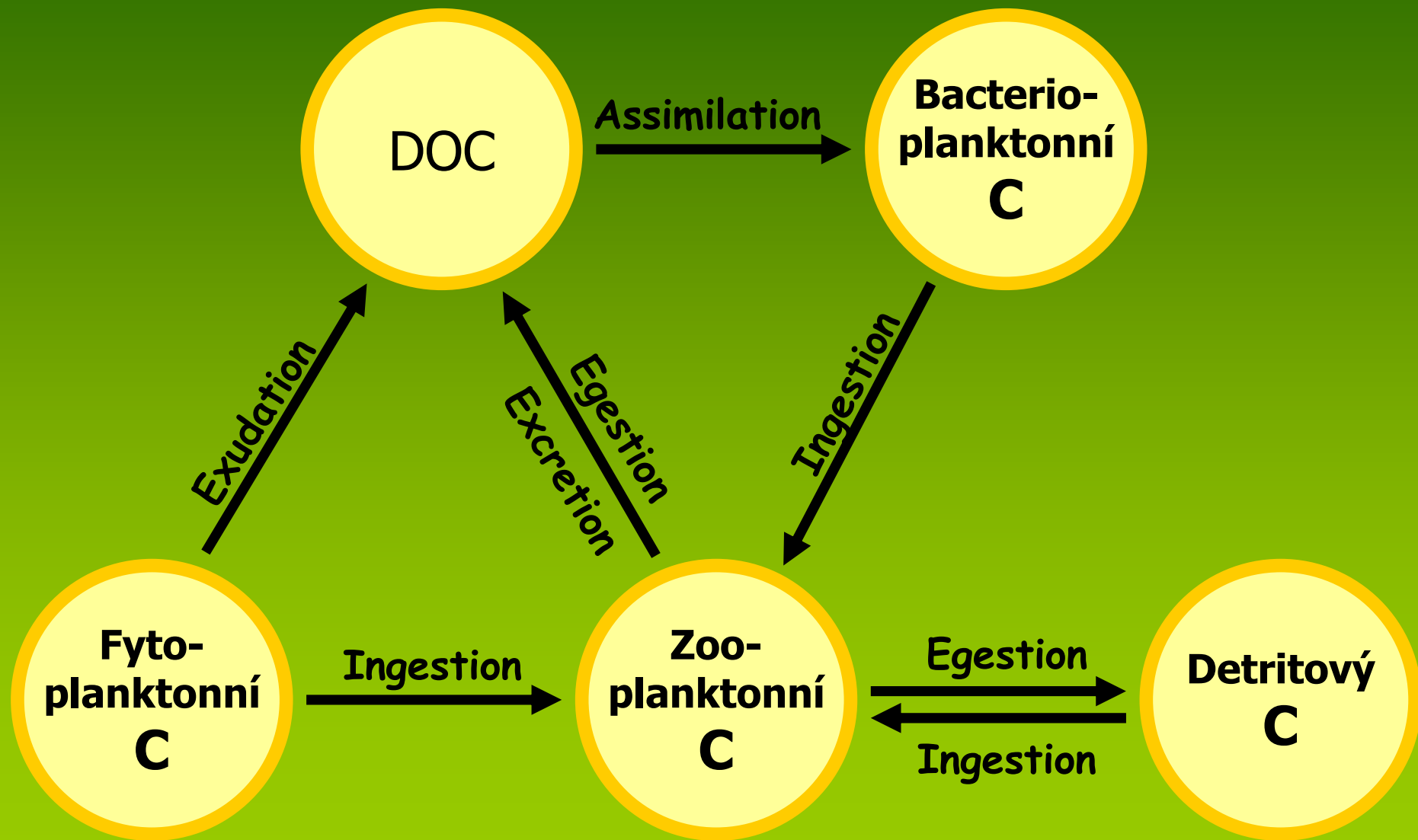
CNR – zooplankton, mikrobiální dekompozice



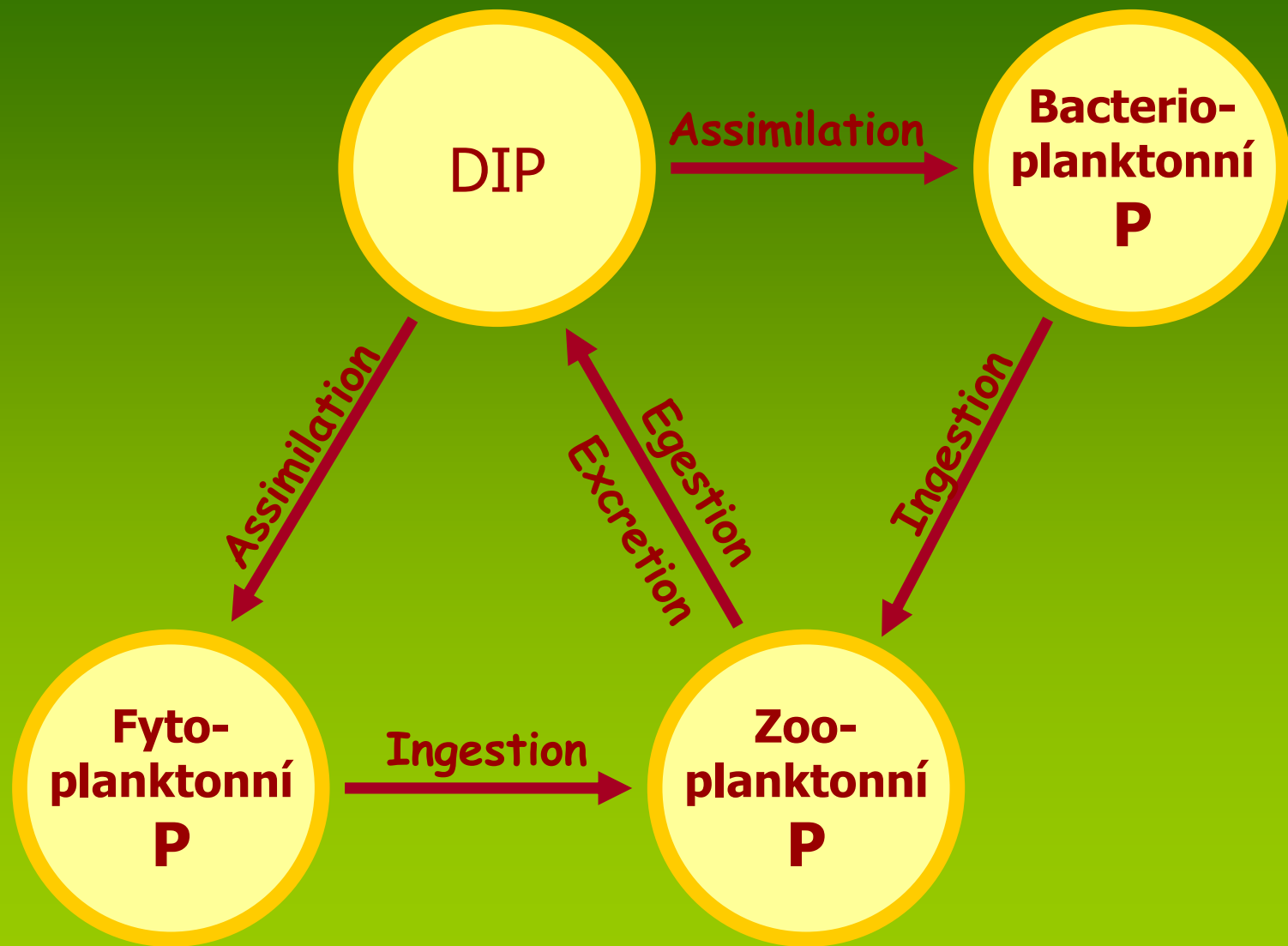
CNR – obratlovci



Stechiometrie společenstev



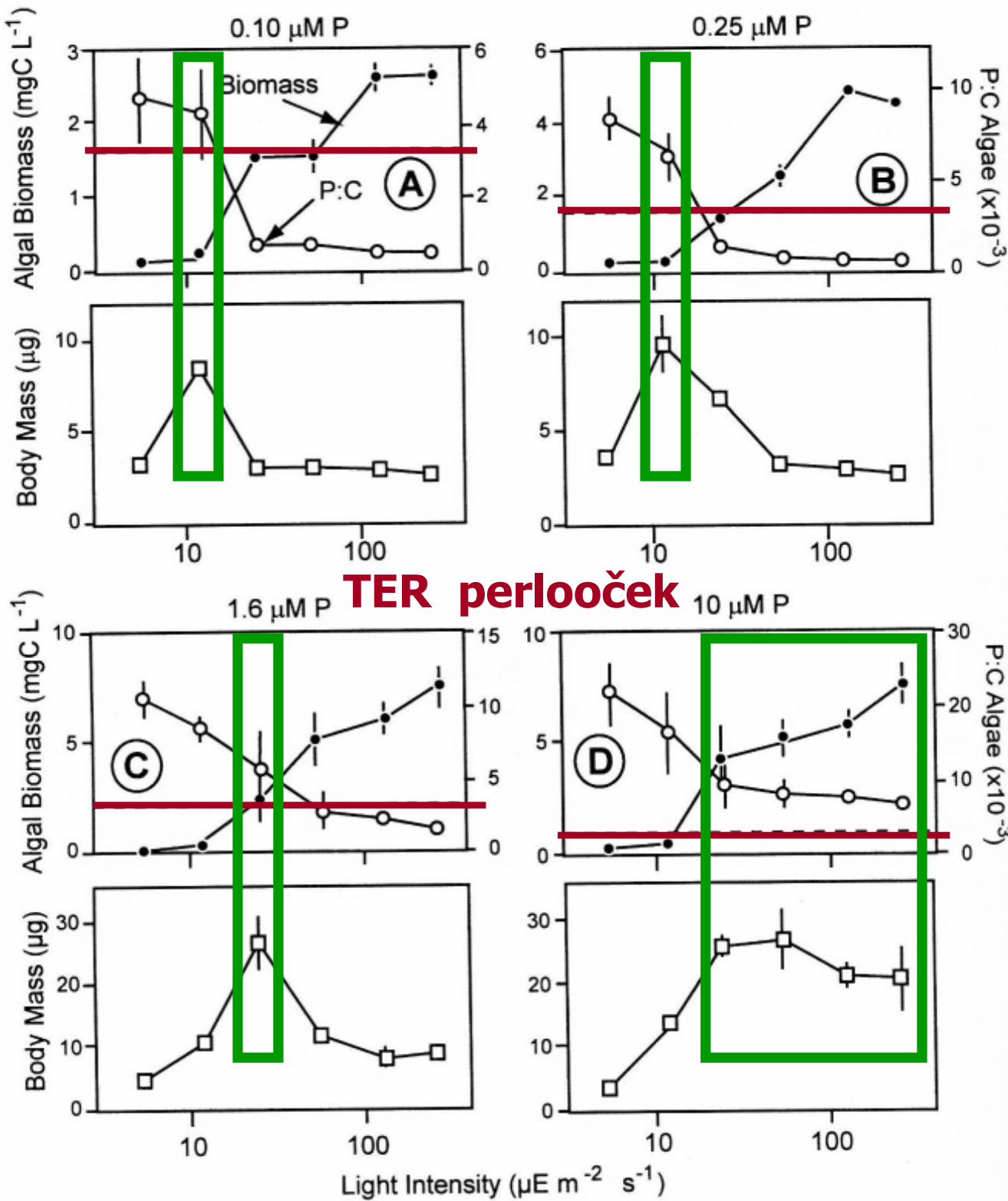
Stechiometrie společenstev



světlo ?

Stechiometrie
světlo:živiny

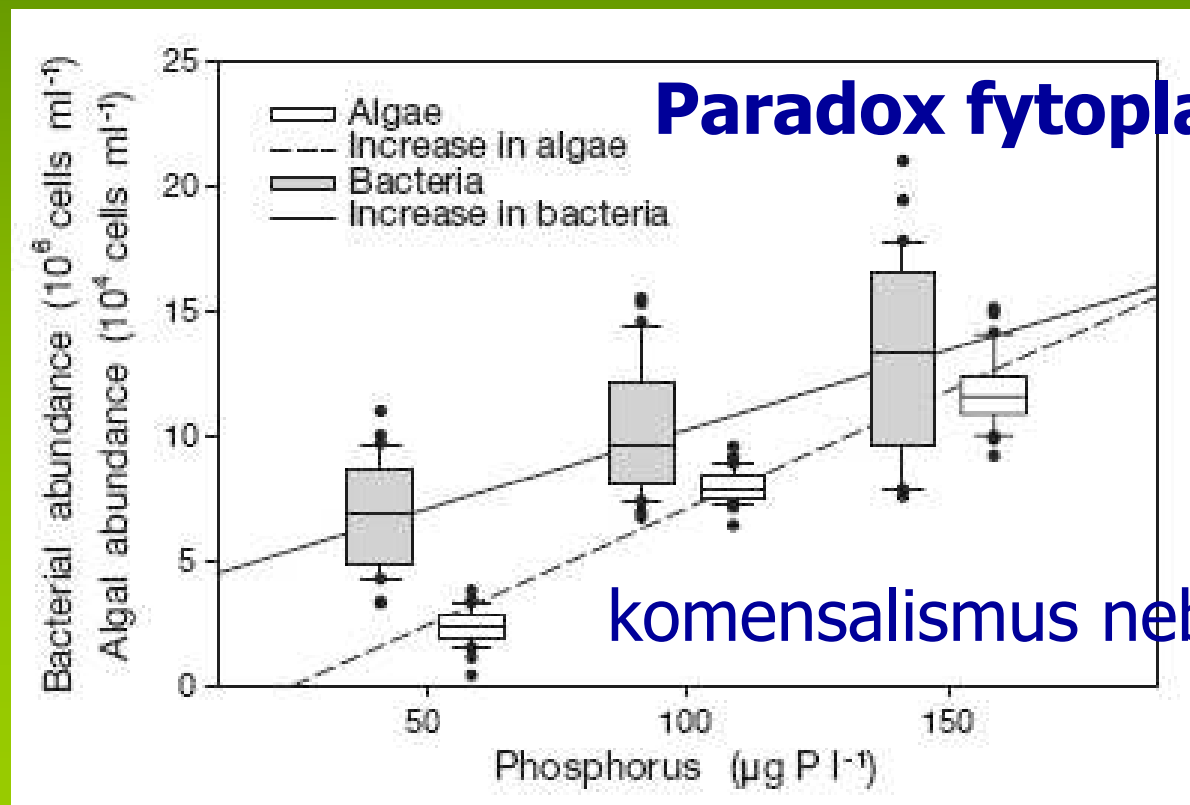
(~C:P)



Stechiometrie společenstev – integrace:

dvojí vliv stechiometrie na ekologické interakce

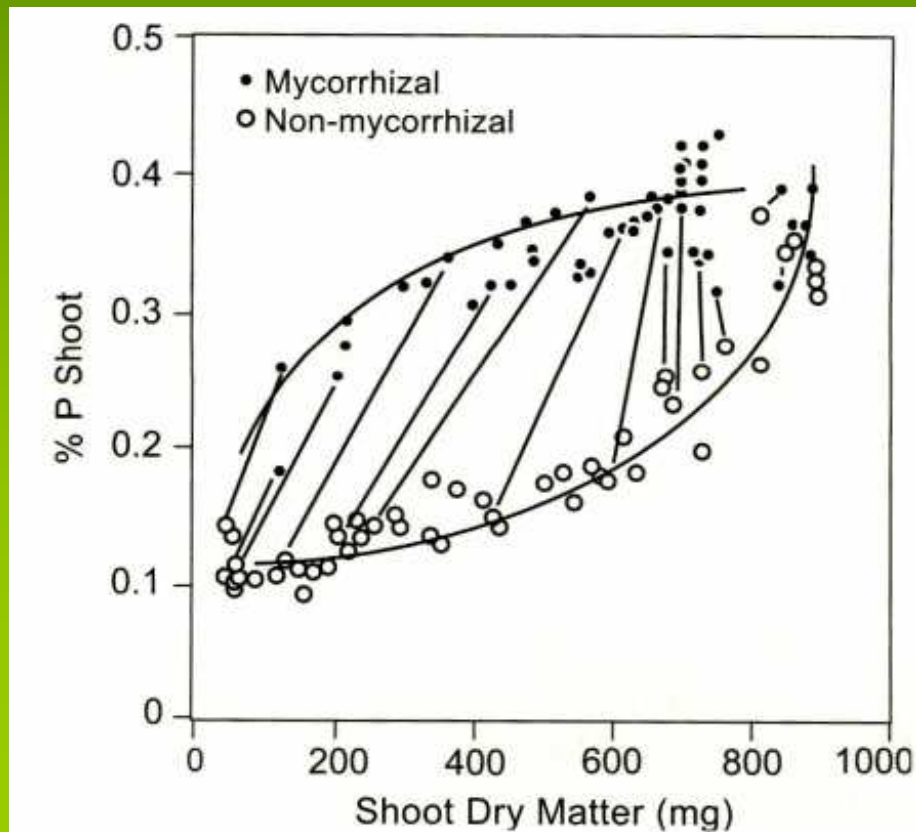
- kvantitativní \sim energie
 - kvalitativní \sim funkce + informace
- } niky druhů



Stechiometrie společenstev – integrace:

dvojí vliv stechiometrie na ekologické interakce

- kvantitativní ~ energie
 - kvalitativní ~ funkce + informace
- } niky druhů



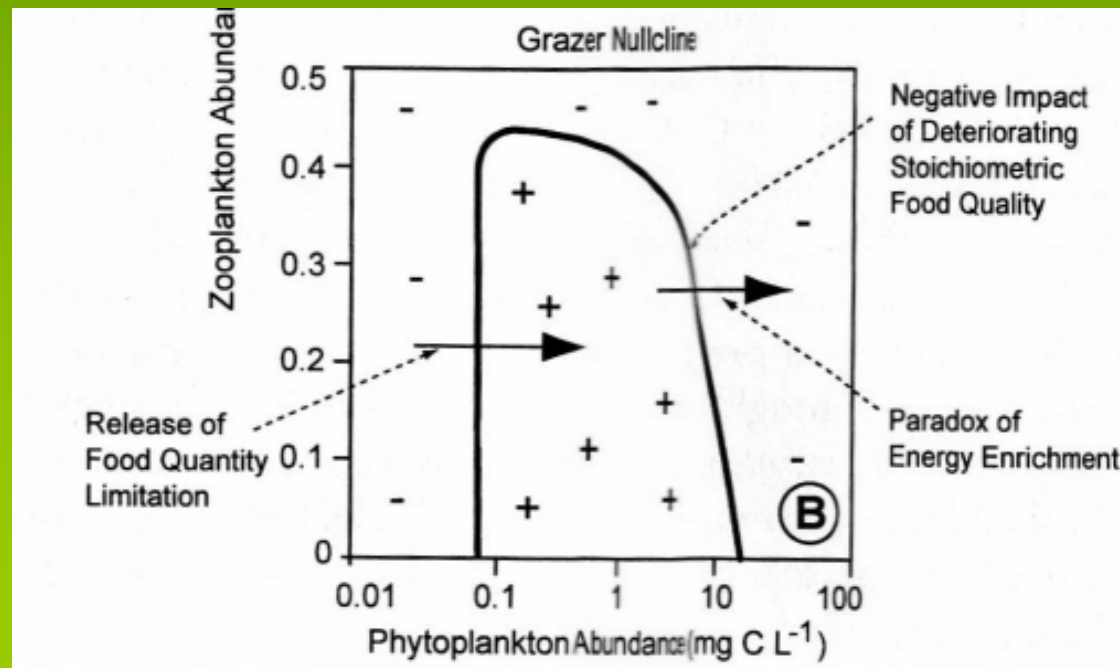
Mykorrhiza:
stechiometrie **mutualismu**

Stechiometrie společenstev – integrace:

dvojí vliv stechiometrie na ekologické interakce

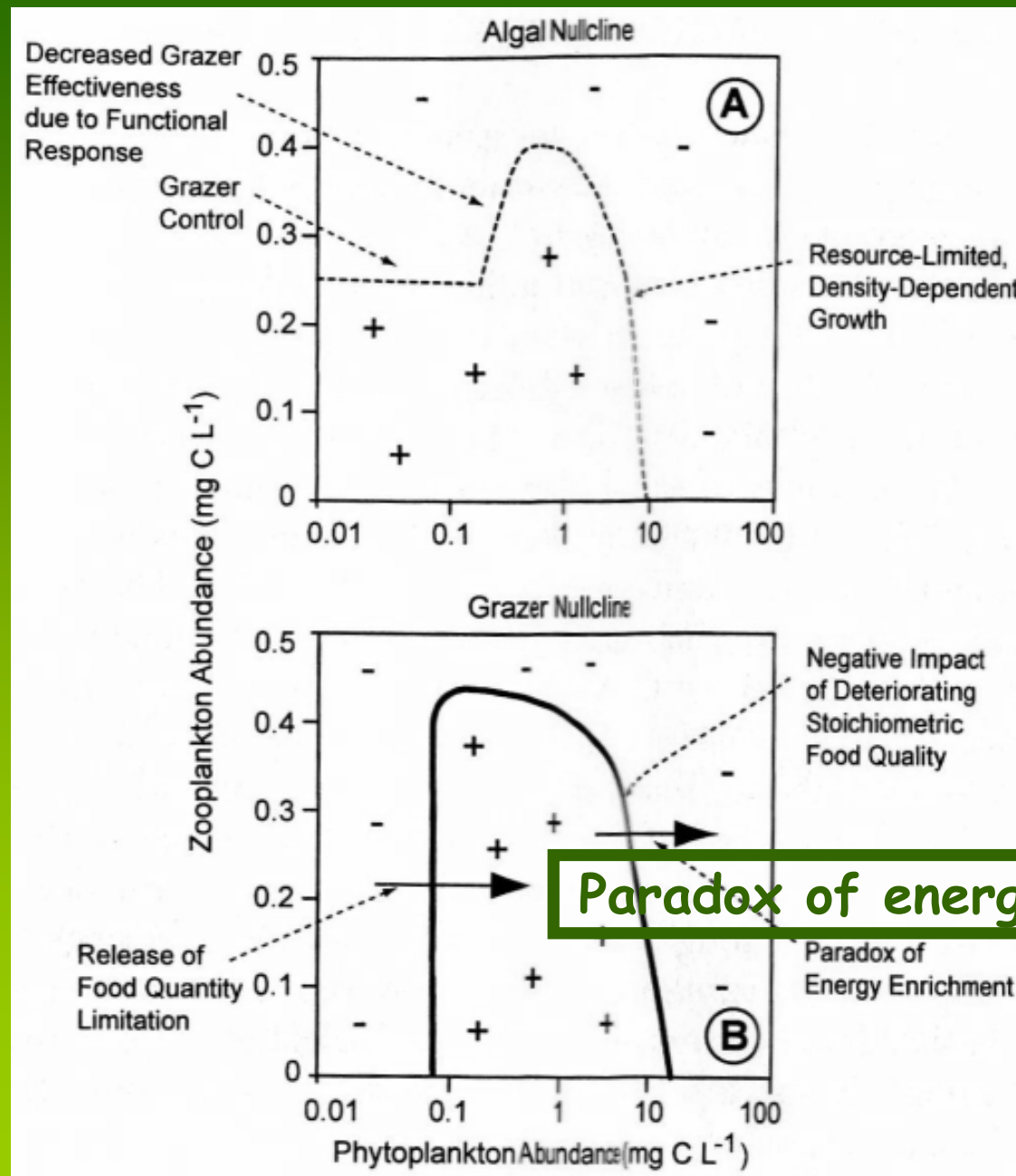
- kvantitativní ~ energie
 - kvalitativní ~ funkce + informace
- } niky druhů

Herbivorní filtrátoři (*Daphnia*): Paradox of energy



enrichment

Stechiometrie vztahu živiny–řasy–zooplankton



Paradox of energy enrichment

Stechiometrie pastevního potravního řetězce: Andersenův stechiometrický model

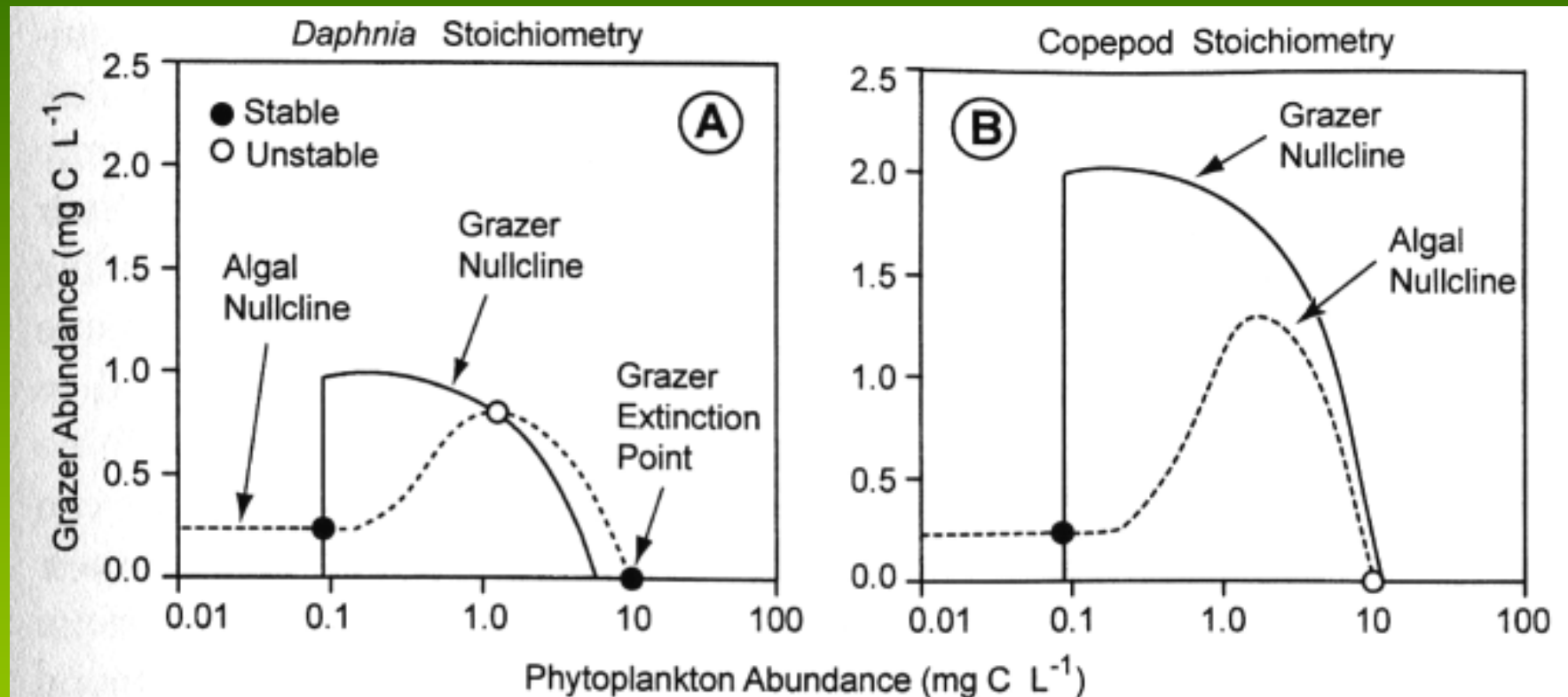
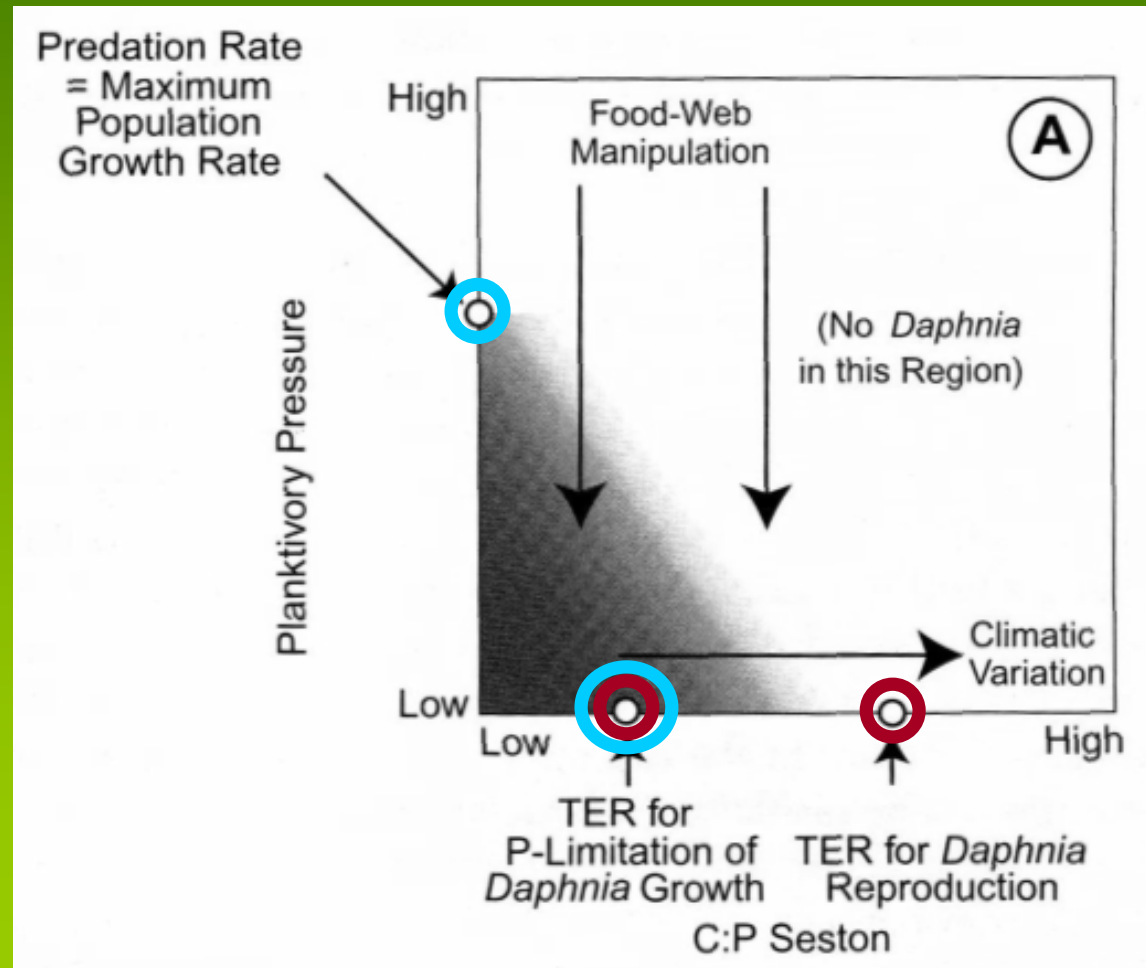
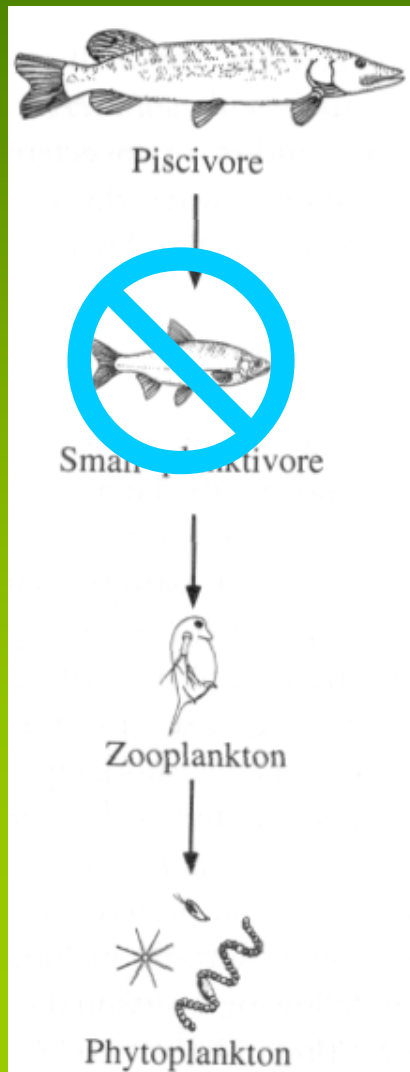


Fig. 7.7. Some of the community equilibria in the Andersen stoichiometry model, contrasting a low-C:P grazer (e.g., *Daphnia*) (A) with a high-C:P grazer (e.g., copepods) (B). For calculation of nullclines, only the grazer C:P was changed. Solid circles represent stable equilibria and open circles represent unstable equilibria. Multiple stable equilibria occur in the model with the low-C:P grazer.

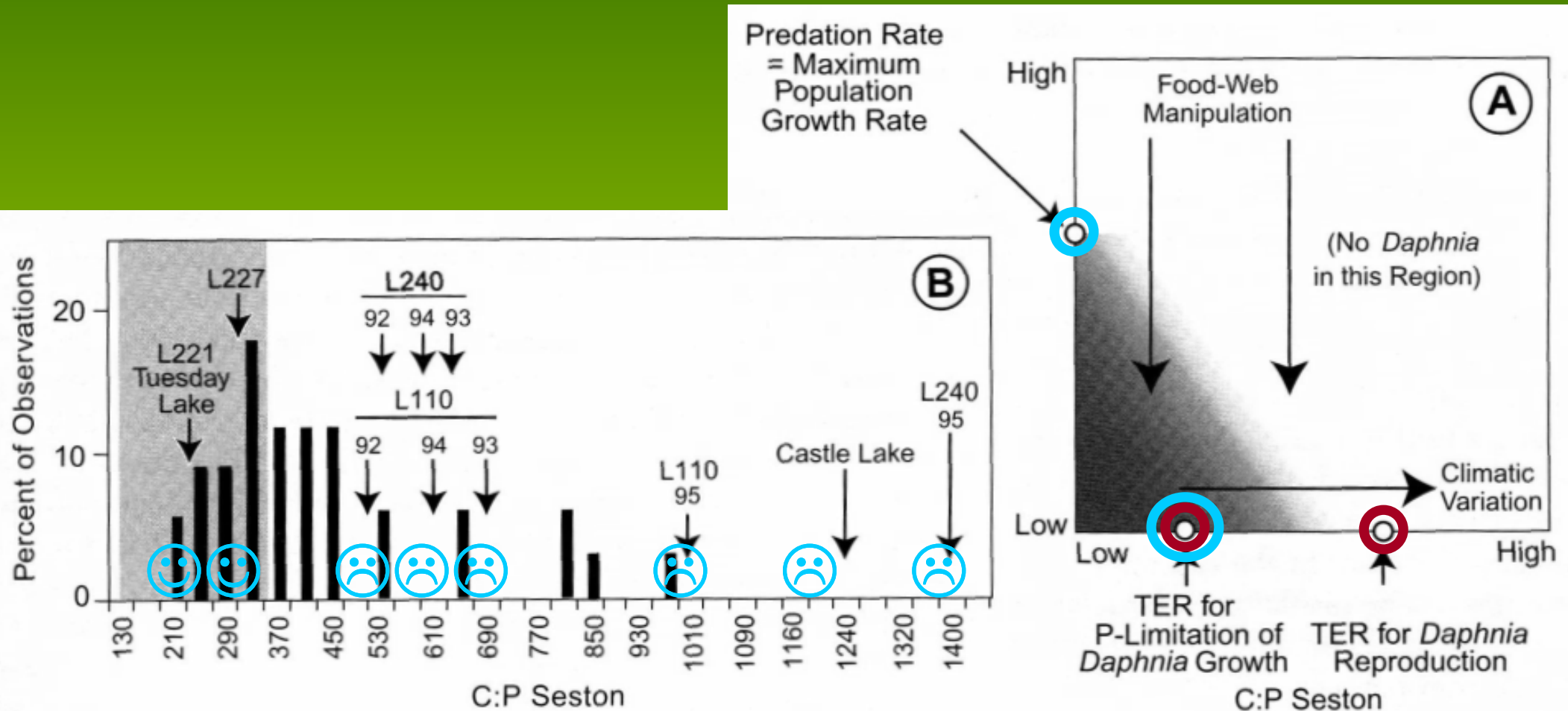
Stechiometrie potravních sítí aneb stechiometrie (ne/úspěšné) biomanipulace

Cascading Trophic Interactions (CTI)

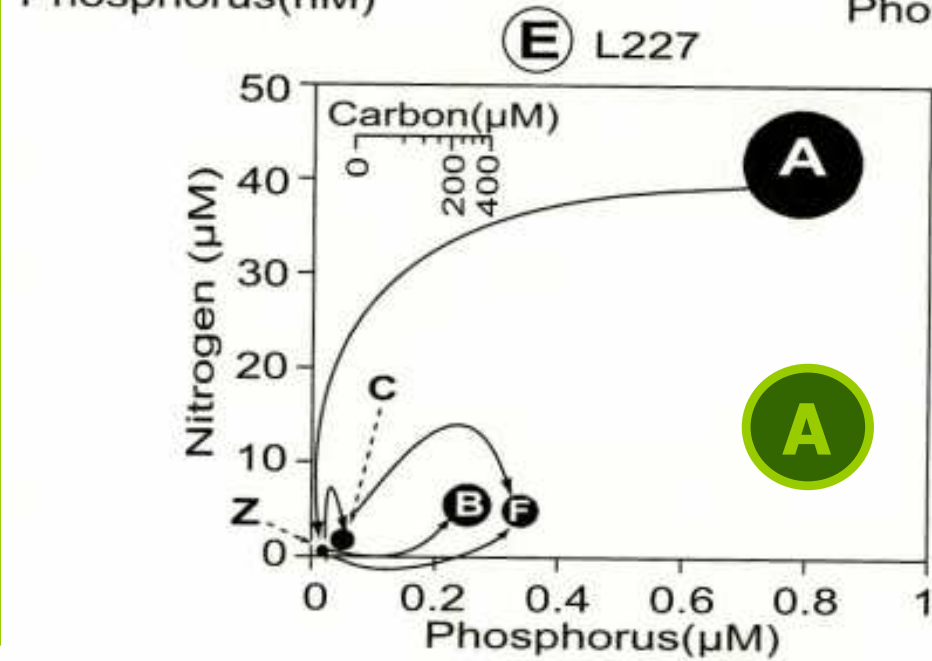
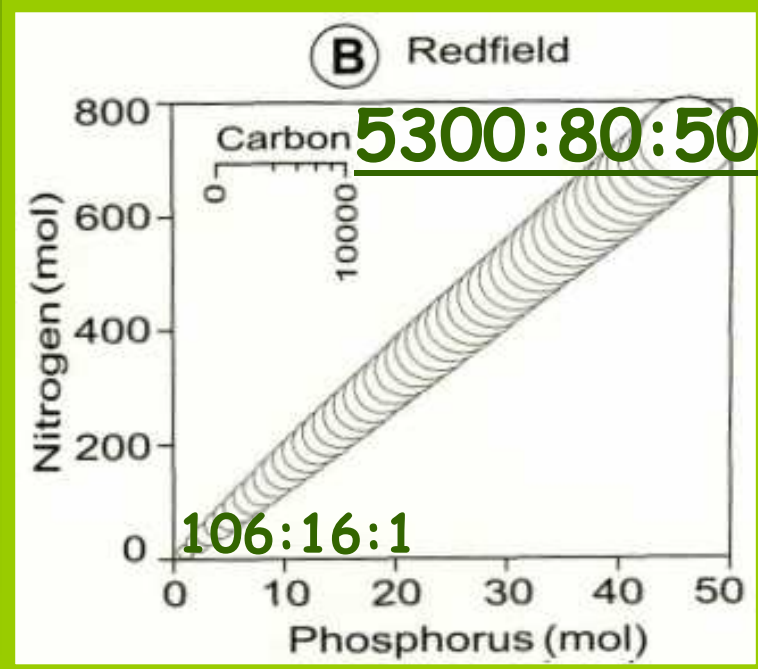
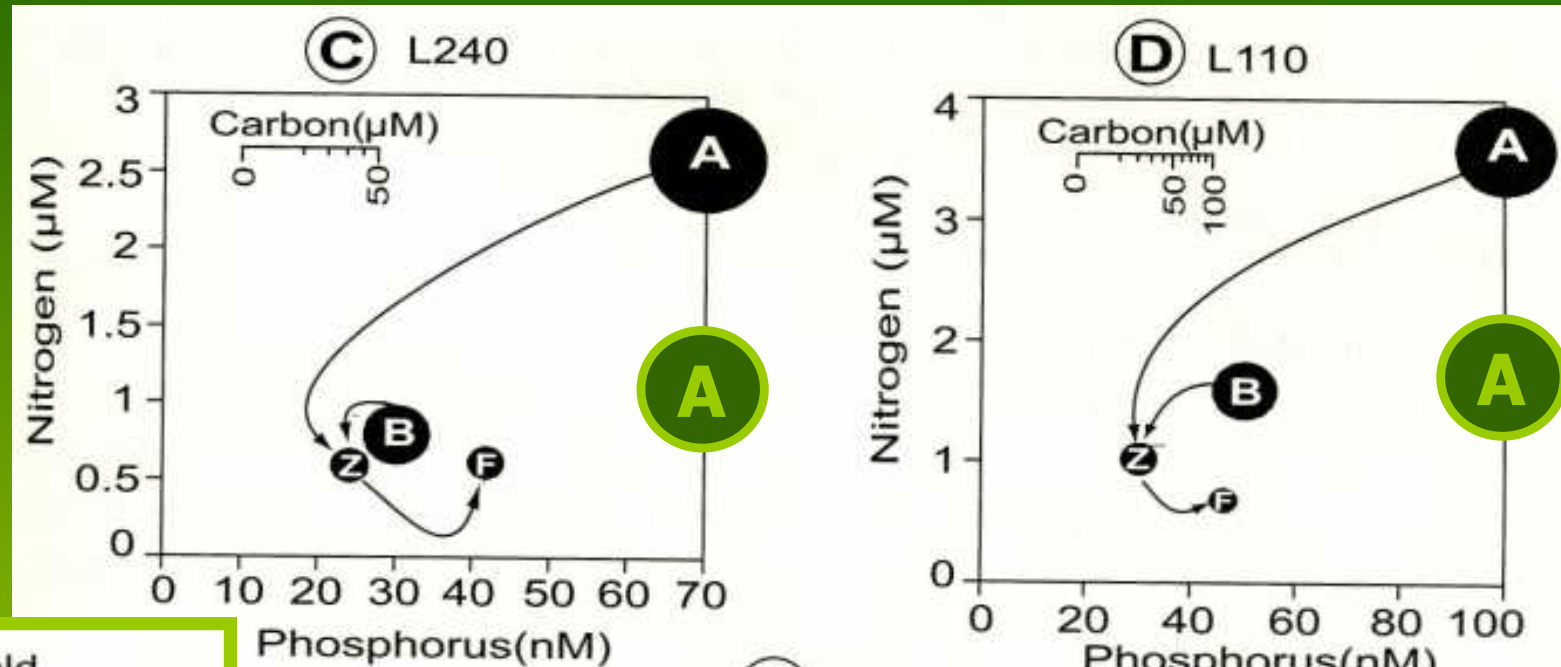


Stechiometrie potravních sítí aneb stechiometrie (ne/úspěšné) biomanipulace

Cascading Trophic Interactions (CTI)

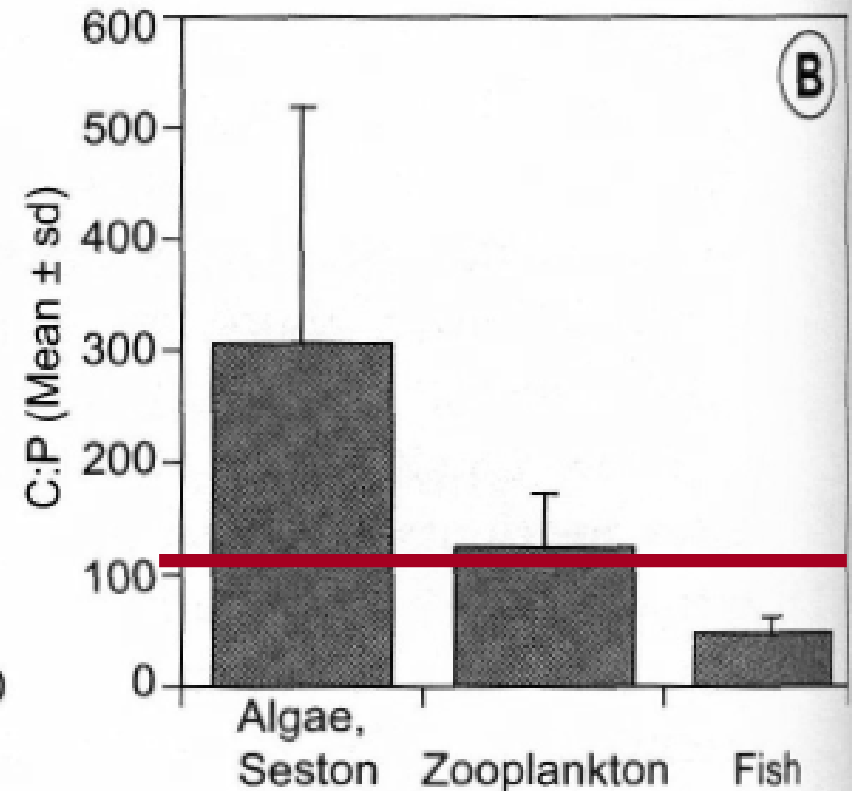
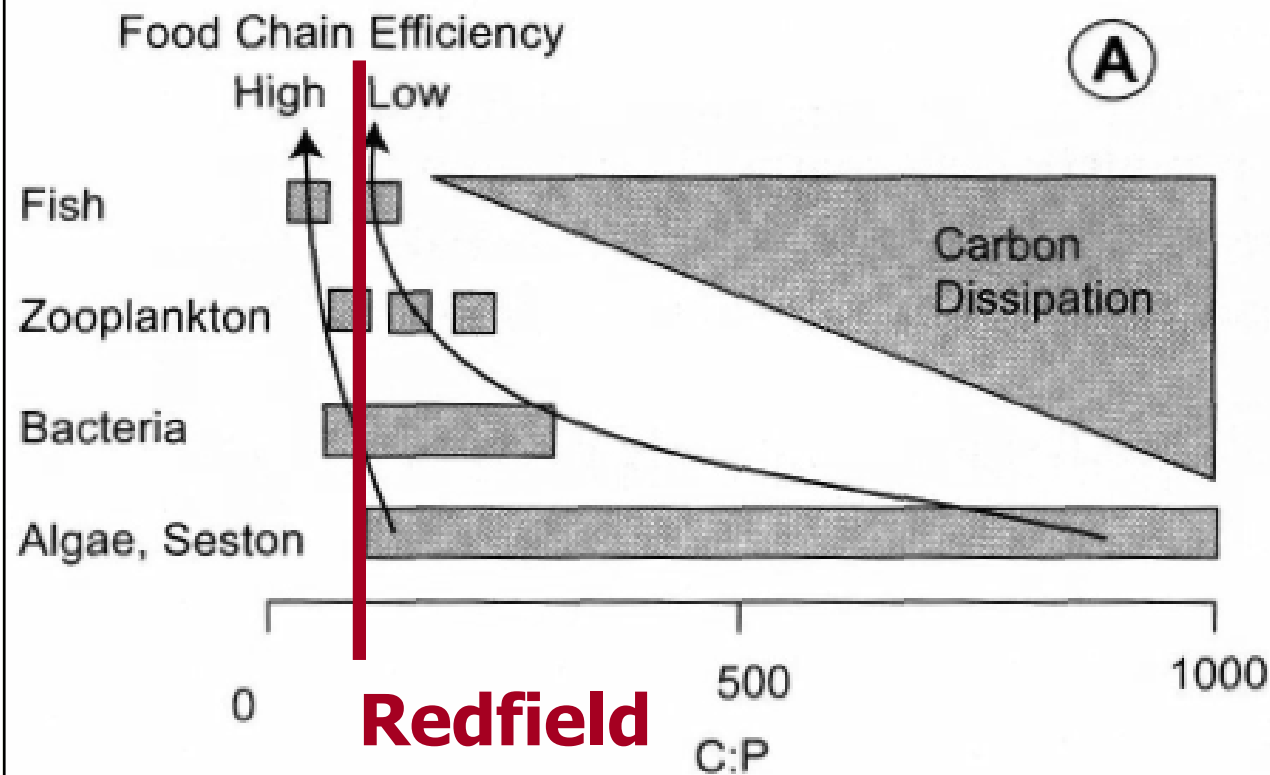


Stechiometrie ekosystémů



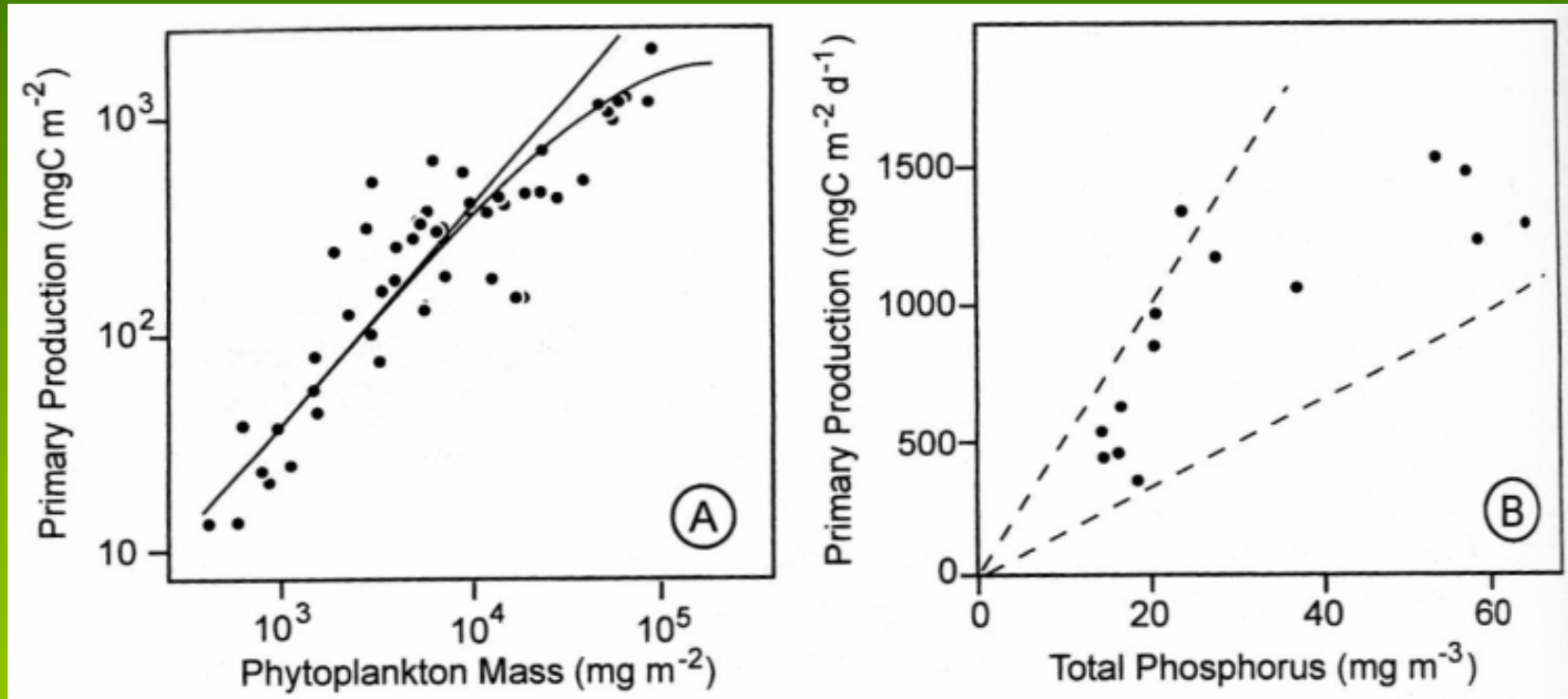
Stechiometrie ekosystémů

Trofické úrovně (GGE_C) = disipace uhlíku + energie !



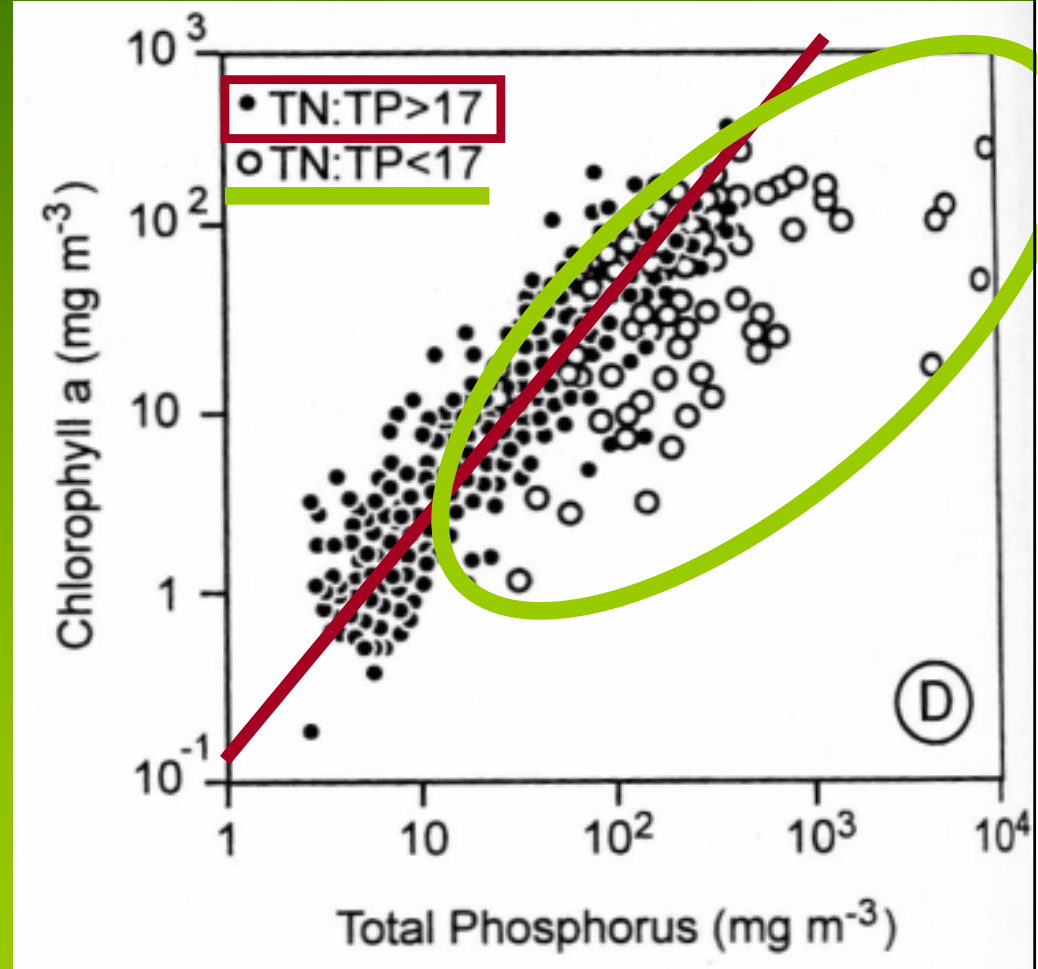
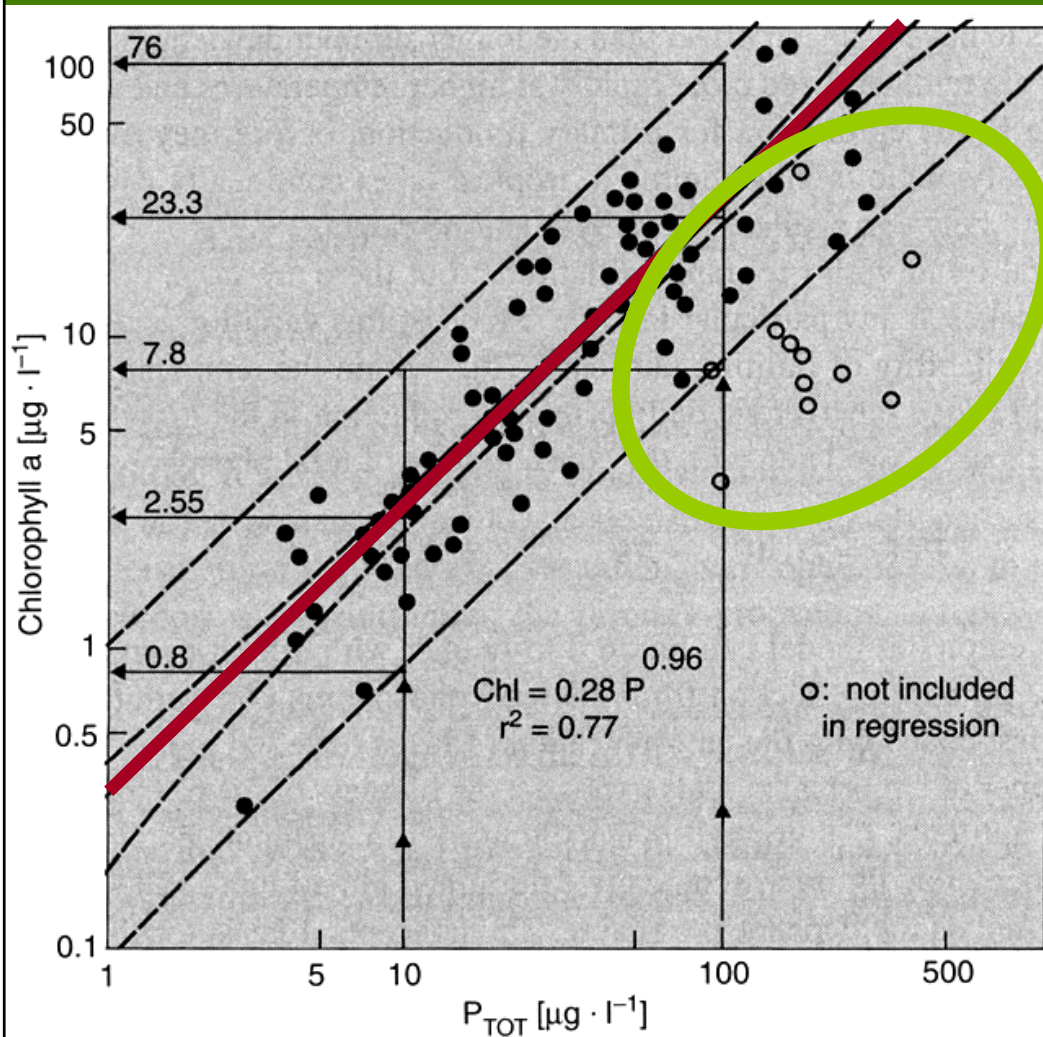
Stechiometrie ekosystémů

Trofie jezer a (stechiometrie) eutrofizace



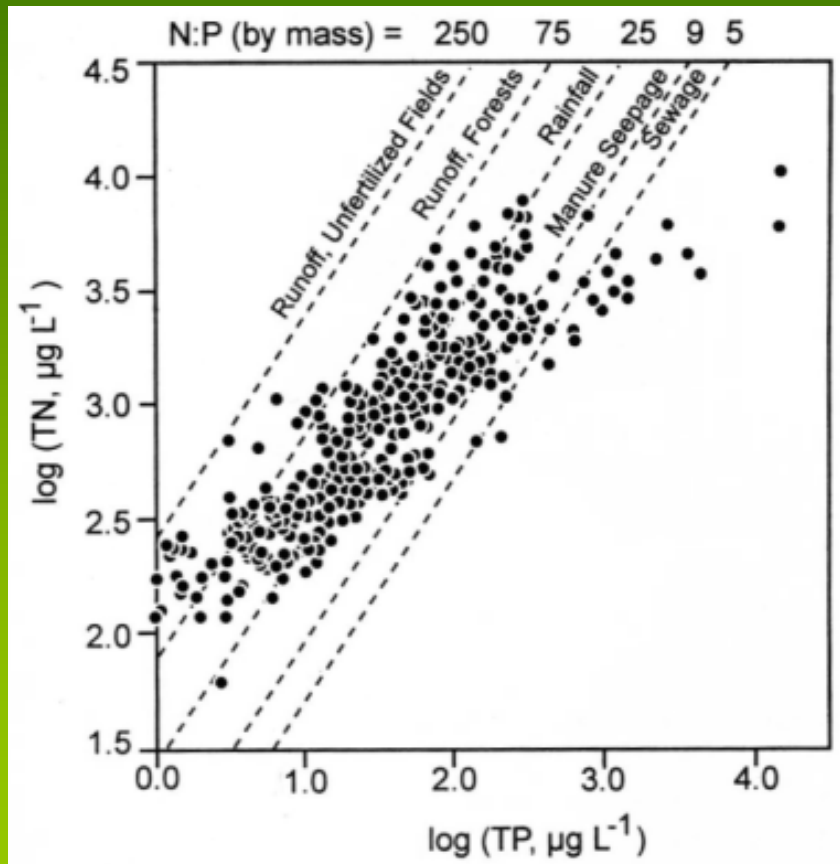
Stechiometrie ekosystémů

Model OECD (Vollenweider): vztah chlorofyl–TP



Stechiometrie ekosystémů

Antropogenní vlivy = hnojení a eutrofizace

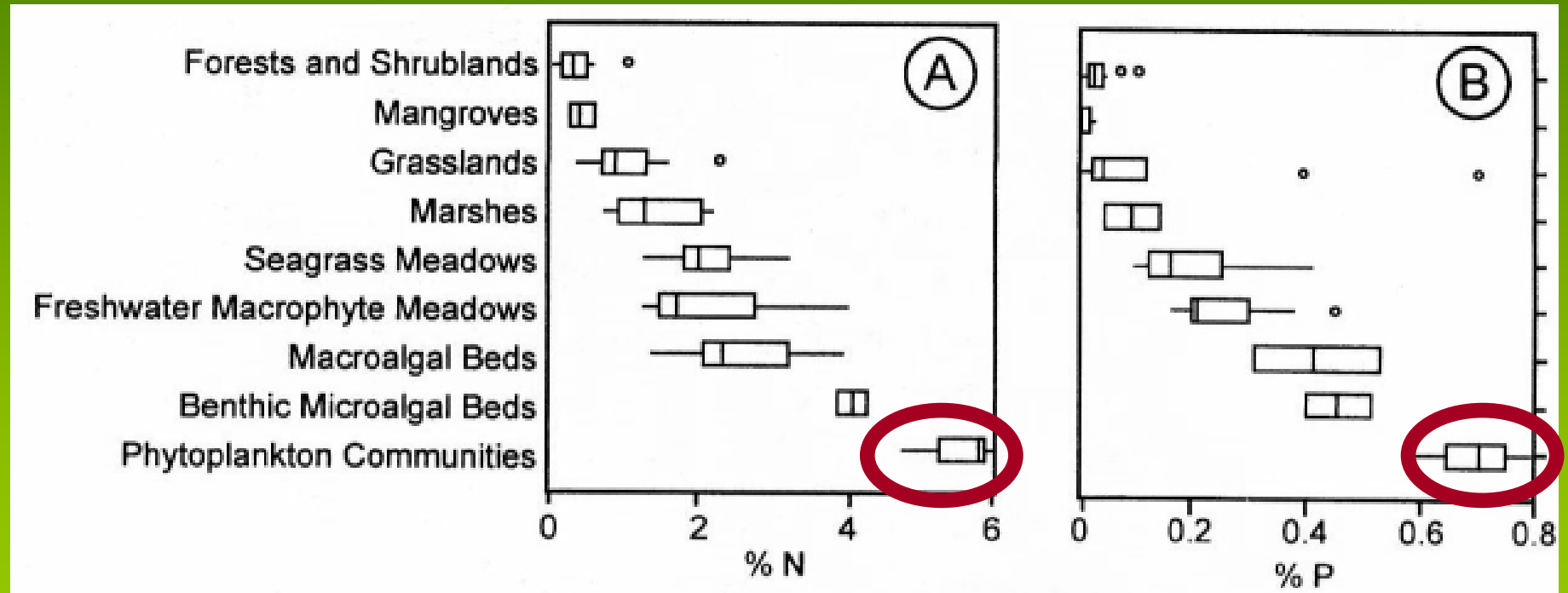


„Lidská činnost mění krajinu i planetu
v jeden velký exktrement...“

Stechiometrie ekosystémů – produktivita ?

Rozdíly stechiometrie terestrických a vodních producentů

Terestr. ekosystém: vysoký C:N:P = velká (strukturní !) biomasa

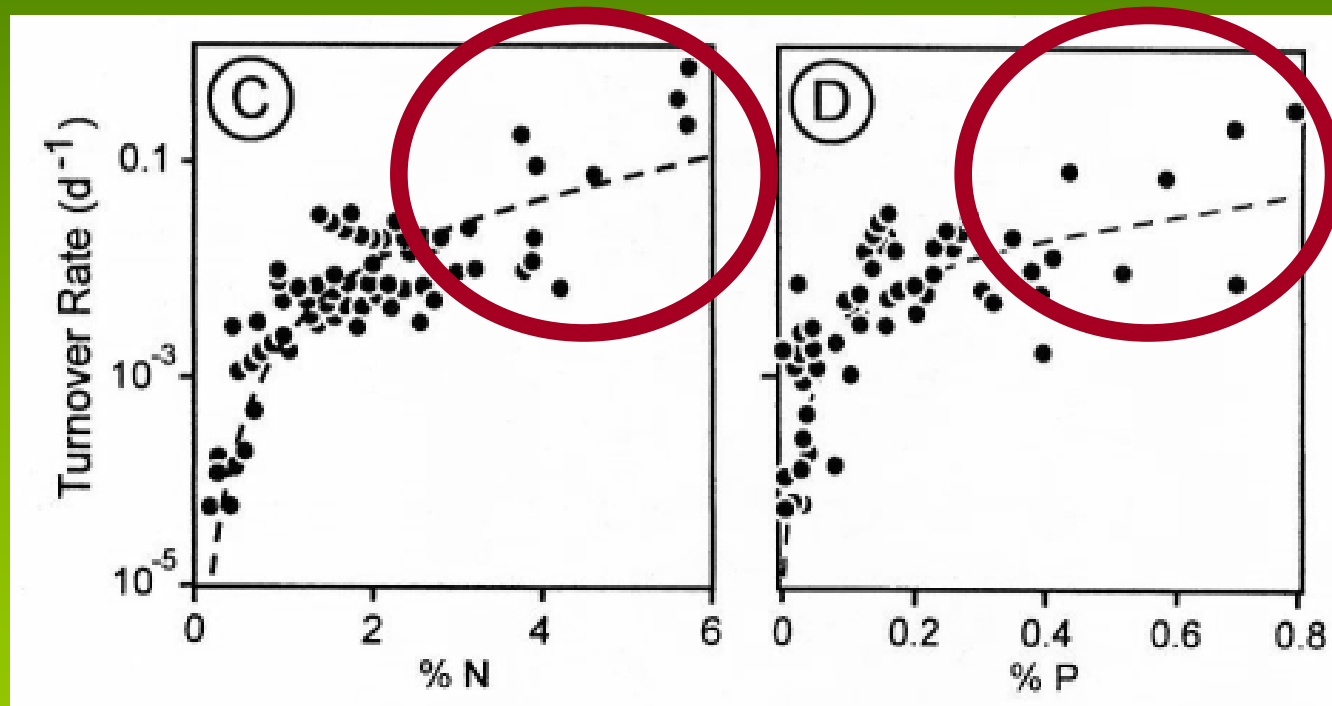


Vodní ekosystém: nizký C:N:P = malá biomasa, vysoká produkce !

Stechiometrie ekosystémů – produktivita ?

Rozdíly stechiometrie terestrických a vodních producentů

Terestr. ekosystém: vysoký C:N:P = velká (strukturní !) biomasa



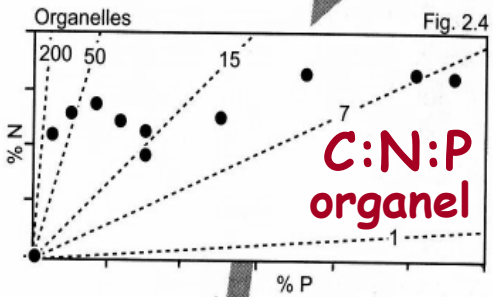
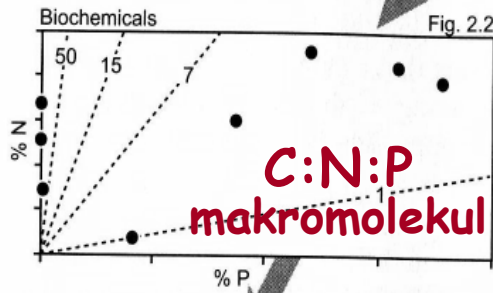
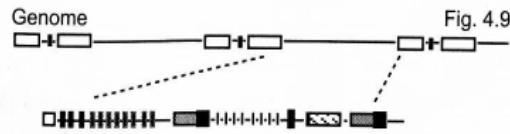
Vodní ekosystém: nizký C:N:P = malá biomasa, vysoká produkce !

Stechiometrie ekosystémů – CUE

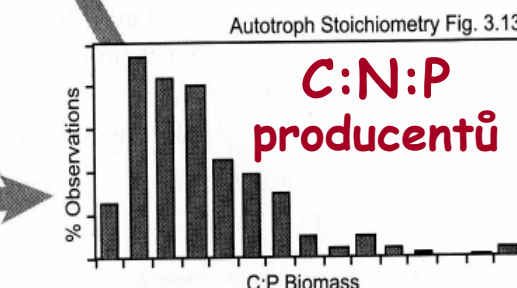
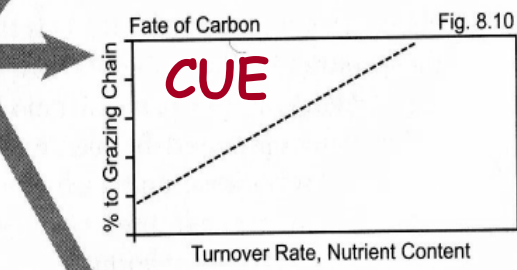
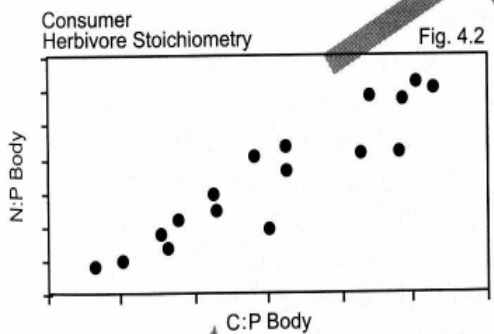
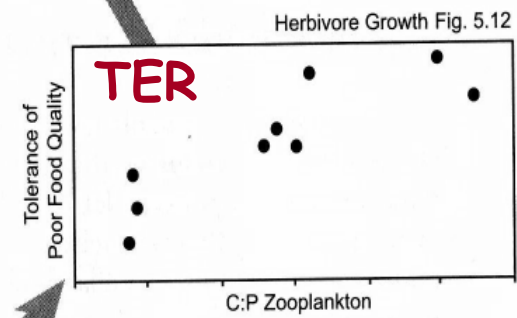
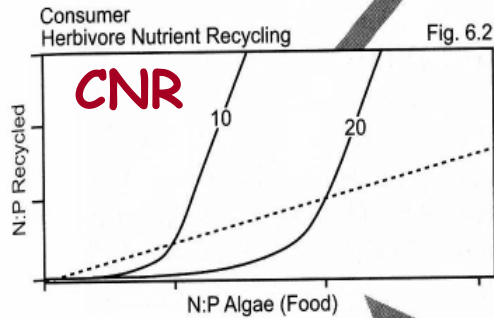
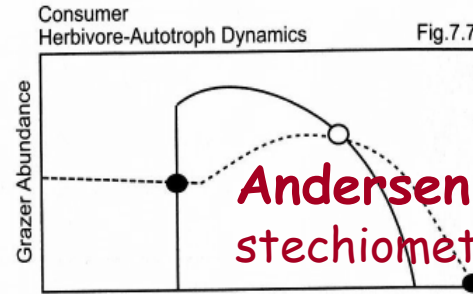
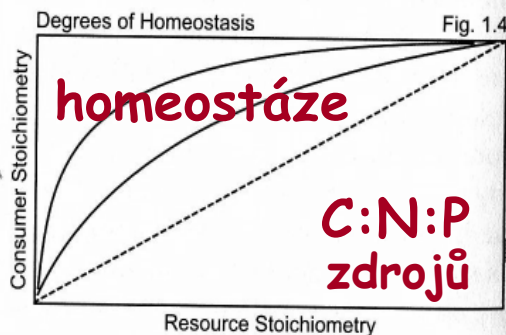
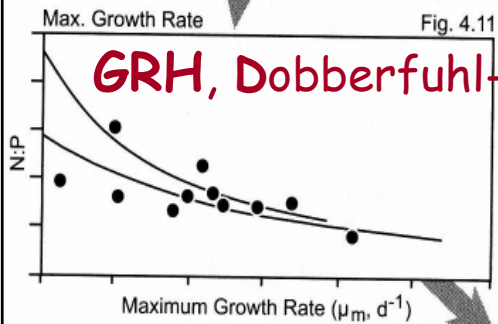
Carbon Use Efficiency – stechiometrie účinnosti produkce
vysoká variabilita CUE mezi jezery

	George	Chad	Lanao	Malawi	Tanganyika
GPP (g O ₂ m ⁻² d ⁻¹)	11.1	4.0	8.7	3.1	3.5
NPP (g C ₂ m ⁻² d ⁻¹)	1.5	1.0	1.7	0.7	0.8
Fish yiled (kg ha ⁻¹ y ⁻¹)	136	14	60	40	125
CUE (% annual PP)	0.25	0.038	0.097	0.16	0.43

Ekologická stechiometrie – syntéza



Stoichiometry from Genes to Ecosystems



Ekologická stechiometrie – syntéza

Ecological contrasts in stoichiometrically balanced and unbalanced ecosystems

<i>Scale, Level of Organization</i>	<i>Target</i>	<i>Stoichiometrically Balanced</i>	<i>Stoichiometrically Imbalanced</i>
Defining Factor	Autotrophs	C:N:P \approx Redfield	C:nutrient \gg Redfield
Trophic Levels	Herbivores Trophic cascades Herbivore-plant dynamics Autotrophs' limiting factor Herbivores' limiting factor	<i>r</i> strategists favored Favored Classical models Light Carbon or energy	<i>K</i> strategists favored Disfavored Multiple equilibria Nutrients Nutrients
Ecosystems	NUE CUE Decomposition rate Fate of primary production Thermodynamics Carbon burial	Low High Rapid Herbivory favored Paradox of enrichment Disfavored	High Low Slow Detritivory favored Paradox of energy enrichment Favored
Example		Open ocean	Coniferous forests

Ekologická stechiometrie – syntéza

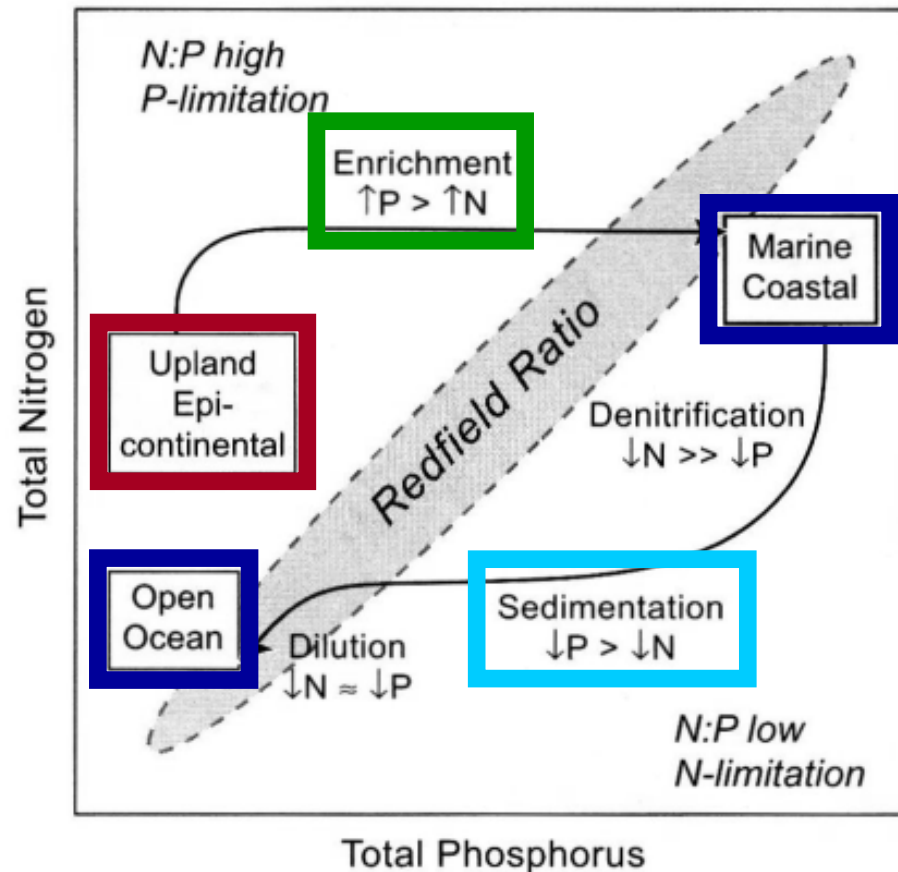
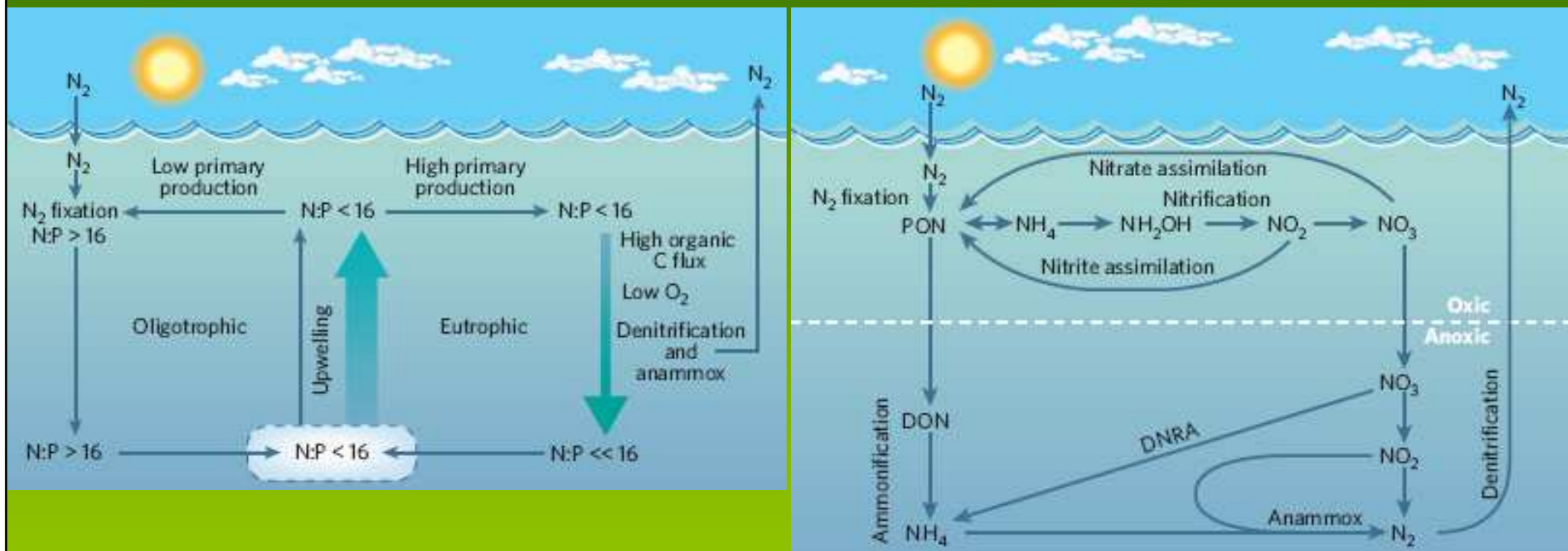


Fig. 8.5. Schematic of hypothesized shifts in total N:P balance from upland epi-continental systems (low-order streams, headwater lakes) subjected mainly to non-anthropogenic nutrient loading through enrichment producing lower N:P and emptying into marine coastal environments. There, high rates of denitrification coupled to other processes again raise N:P such that it is somewhat higher than the Redfield ratio (indicated by oval area). Moving offshore, sedimentation and dilution lower N and P, and increase N:P. For comparison to real data, see Figures 1.11 and 8.4.

Ekologická stechiometrie – syntéza

Gaia – globální ekosystém = homeostáze oceánů



Arrigo K.R.: Marine microorganisms and global nutrient cycles. **Nature 437,**
349–355, 2005.